

## РОЗДІЛ III

### АЕРОПЛЯННЕ КРИЛО В ПЛОСКО-РІВНОБІЖНОМУ ПОТОКОВІ

#### § 1. Основні поняття

Уже в § 1 розділу II сказано, що течію навколо аероплянного крила, яке рухається нормально до своєї осі, принаймні в середніх її перекоях, можна з великим наближенням вважати за плоску. Ми вже знаємо, що плоску течію визначає контур нормального перекрою тіла. Тому, дослідючи крило в плоско-рівнобіжному потокові, ми, власне кажучи, досліжуємо аеродинамічні властивості профілю цього крила.

Раніш ми вже бачили, що в вираз комплексного потенціялу для плоскої течії входить величина циркуляції  $\Gamma$ , яка, відмінно від швидкості  $u_0 + iv_0$  крила, не є величина, відома наперед.

І справді, на прикладі колового циліндра ми бачимо, що з однокшвидкістю потоку на безконечності можна мати дуже багато можливих обтікань, міняючи величину циркуляції  $\Gamma$ .

Згідно з теоремою М. Є. Жуковського, циркуляція навколо крила неодмінно  $\neq$ , якщо підйомальна сила не дорівнює нулеві.

Але як утворюється циркуляція і якої числової вартості вона набирає на ділі? Ось основні питання в цікавій для нас теорії. Очевидно, що насамперед нам потрібна відповідь на друге питання: нам треба знати величину циркуляції, бо інакше ми не зможемо застосувати теореми М. Є. Жуковського, визначити комплексний потенціял, обчислити момент сил тиску. Разом із тим ясно, що всі ці питання тісно між собою зв'язані: знаючи докладно процес утворення циркуляції, ми змогли б



Рис. 35.

визначити ту числову вартість, якої вона набирає; і навряд чи можна відповісти на друге питання, не знаючи процесу утворення циркуляції, тобто не дослідивши спочатку першого питання.

Якщо, взагалі кажучи, це є так, то для тих контурів, яких застосовують, як профілі крил, як уперше показав М. Є. Жуковський, можна визначити величину циркуляції незалежно від того, на скільки досліджено перше питання.

Справа в тому, що на контурах, застосовуваних, як профілі крил, є ззаду кутова точка.

Коли залишити циркуляцію навколо крила довільною (фіг. 35) то, як ми побачимо далі, в кутовій точці швидкість течії матиме неможливі на ділі безконечно великі вартості.

Коли не міняти швидкості потоку на безконечності (як і величиною так і напрямом), то тільки при одній вартості циркуляції, як показано далі, швидкість у кутовій точці матиме конечну величину. Це буде тоді коли критична точка течії зіллеться з кутовою точкою.

Як би не утворювалась циркуляція, кінець-кінцем повстає якась можлива течія, і, значить, величина циркуляції повинна одержати таку варітість, за якої в кутовій точці швидкість конечна. Ця ідея М. Є. Жуковського приводить до наслідків, що, як побачимо далі, добре сходяться з досвідом. Тому, взявши в цьому розділі її за основу, дослідження першого питання ми відкладемо до дальнього розділу.

## § 2. Профіль М. Є. Жуковського

Вживані тепер крила — цеувігнуті платівки, що мають у профілі видовжену форму, передній кінець якої (що рухається проти повітря) закруглений і погрублений, а задній, щоб зменшувати опір, загострений і сходить нанівець.



Рис. 36.



Рис. 37.

З рисунків 36 і 37 можна уявити форму крила (несної поверхні) та стерна (поверхні для керування).

Згідно із сказаним у розділі II (див. § 6), щоб дослідити обтікання будь-якого профілю, досить знайти аналітичну функцію, що відтворює частину площини поза профілем на частину площини поза колом.

Теоретично таке відтворення можливе завжди, практично ж визначити функцію, що дає конформне відтворення, часто дуже важко.

Тому набувають великої ваги профілі, для яких конформне відтворення можна одержати порівняно просто.

Ідея побудови таких профілів і теорія первого з них належить М. Є. Жуковському.

Щоб побудувати профіль М. Є. Жуковського, візьмімо обвід якогось радіуса  $R$  з центром у точці  $z=0$ . На рис. 38 цей обвід позначено через  $k$ .

У третьому квадранті виберімо якусь точку  $C$  і покладімо, що їй відповідає комплексне число  $c = -a - bi$ , де, отже,  $a > 0$ ,  $b > 0$ . Через  $C$  проведімо просту рівнобіжно з віссю  $X$  і позначмо через  $A$  її перетин з обводом  $k$ . Злучімо з центром  $O$  точку  $C$  і точку  $A$ , спустімо із  $C$  нормальню  $CD$  на дійсну вісь і проведімо просту  $CQ$  так, щоб

$$\angle QCD = \angle OCD.$$

З утвореної так точки  $Q$ , як із центру, описано обвід кола радіуса  $AQ$ ; цей обвід на рисунку позначено через  $K$ .

Щоб знайти якунебудь точку профілю М. Є. Жуковського, проведімо через точку  $C$  дві прямі, що утворюють з  $CB$  одинаковою величиною й протилежні знаком кути. Точки перетину цих прямих з обводами кіл позначено через  $N_1$ ,  $M_2$ ,  $N_2$ ,  $M_1$ .

Побудувавши на відтинках  $CM_1$  і  $CN_1$  рівнобіжник і взявши його четвертий вершок, матимемо якусь точку профілю М. Є. Жуковського.

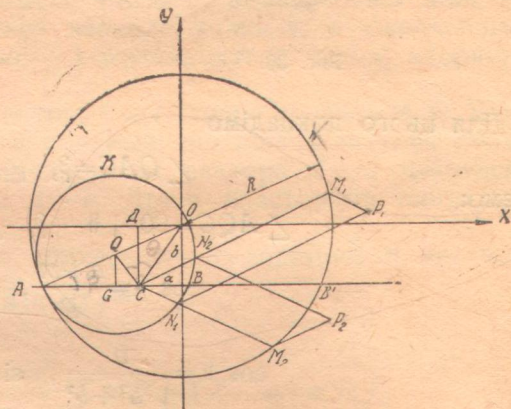


Рис. 38.

Аналогічно відтинки  $CM_2$  і  $CN_2$  дадуть ще одну точку профілю.

Практично зручно зразу провести через точку  $C$  декілька променів (приміром, 12) під одинаковими один з одним кутами і, виконуючи цю побудову, сполучити такі точки профілю плавкою кривою.

Рис. 39, і 40 пояснюють сказане.

Найдімо тепер комплексні числа, що відповідають точкам  $A$  і  $B$  (рис. 38); вони нам далі будуть потрібні. Називаючи відтинок  $AC$  через  $m$  і згадуючи, що

$$DO = a, \quad CD = b,$$

насамперед матимемо

$$(a+m)^2 + b^2 = R^2. \quad (1)$$

Легко бачити, що точці  $A$  відповідає комплексне число  $-a - m - bi$ ; справді, абсциса точки  $A$  дорівнює  $-AC - DO = -a - m$ , а ордината дорівнює  $-DC = -b$ . Щодо точки  $B$ , то її відповідає комплексне число  $-a - m - bi + 2AG$ .

Отже нам треба знайти довжину відтинка  $AG$ .

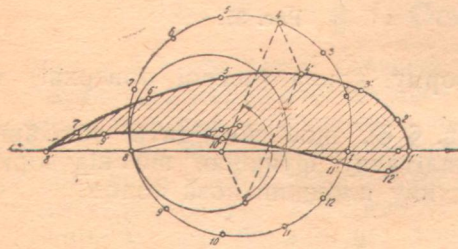


Рис. 39.

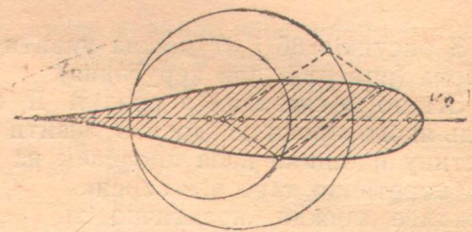


Рис. 40.

Для цього покладімо

$$\angle QAC = \beta, \quad \angle DCO = \vartheta,$$

маємо:

$$\angle AQC = 90^\circ + \vartheta - \beta, \quad \angle ACQ = 90^\circ - \vartheta,$$

$$\cos \beta = \frac{a+m}{R}, \quad \sin \beta = \frac{b}{R},$$

$$\cos \vartheta = \frac{b}{\sqrt{a^2 + b^2}}, \quad \sin \vartheta = \frac{a}{\sqrt{a^2 + b^2}},$$

так що

$$\sin \angle AQC = \cos(\vartheta - \beta) = \frac{(a+m)b + ab}{R\sqrt{a^2 + b^2}} = \frac{b(m+2a)}{R\sqrt{a^2 + b^2}},$$

$$\sin \angle ACQ = \cos \vartheta = \frac{b}{\sqrt{a^2 + b^2}}.$$

Після чого з трикутника  $ACQ$  маємо:

$$\frac{AQ}{m} = \frac{\sin \angle ACQ}{\sin \angle AQC} = \frac{R}{m+2a},$$

звідки

(\*)

$$AQ = \frac{Rm}{m+2a}$$

i

$$AG = AQ \cos \beta = \frac{m(a+m)}{m+2a}.$$

Отже ми бачимо, що точці  $B$  відповідає комплексне число

$$-a - bi - m + \frac{2m(a+m)}{m+2a}$$
$$-a - bi + \frac{m^2}{m+2a}. \quad (2)$$

Покажімо тепер, що конформне зображення частини  $\zeta$ -площини, що лежить поза профілем М. Є. Жуковського, на частину  $z$ -площини, що лежить поза колом  $x^2 + y^2 = R^2$ , дається формулою<sup>1</sup>

$$\zeta = z + \frac{m^2}{z - c}. \quad (3)$$

Для цього перепишімо цю формулу так:

$$\zeta - c = (z - c) + (Z - c), \quad (4)$$

$$Z - c = \frac{m^2}{z - c}. \quad (5)$$

Зауважмо, що комплексне число  $z - c$  геометрично зображається відрізком, який іде з точки  $c$  в точку, якій відповідає комплексне число  $z$ . Можна сказати, що числу  $z - c$  відповідає якийсь вектор, що йде з точки  $c$ .

Коли точка, що зображає комплексне число  $z$ , описує обвід кола  $k$ , напрям цього вектора обертатиметься навколо точки  $c$ , а кінець його описуватиме обвід кола  $k$ . При цьому обертатимуться також напрями векторів  $(Z - c)$  і  $(\zeta - c)$ .

Нам треба показати, що кінець вектора  $\zeta - c$  описше профіль М. Є. Жуковського; для цього досить показати, поперше, що кінець вектора  $Z - c$  описує обвід кола  $K$  і, подруге, що аргумент вектора  $Z - c$  різниться тільки знаком від аргумента вектора  $z - c$ . Друга властивість випливає з формулі (5).

Справді, покладімо, що аргумент вектора  $z - c$  дорівнює  $\Theta$ , так що

$$z - c = |z - c| e^{i\Theta}.$$

Тоді на підставі (5)

$$Z - c = \frac{m^2}{|z - c| e^{i\Theta}} = \frac{m^2}{|z - c|} e^{-i\Theta} = |Z - c| e^{-i\Theta}$$

другу властивість доведено.

Візьмімось доводити першу властивість. Насамперед видно, що кінець вектора  $Z - c$ , тобто точка  $(Z)$ , що відповідає комплексному числу  $Z$ , описує якийсь обвід кола, коли точка  $(z)$  описує  $k$ . Це виходить на підставі § 7 розділу II з того, що  $Z$  є дробова лінійна функція від  $z$ .

Тому нам досить показати, що лінія, описувана точкою  $(Z)$  проходить через точки  $A$  і  $B$  і дотикається  $k$  в точці  $A$  (рис. 38).

Точці  $B$  відповідає число  $-a - bi + \frac{m^2}{m+2a}$ , як ми бачили раніше [формула (2)].

Величині  $z$  даймо вартість

$$z = a - bi + m,$$

що відповідає точка  $B'$ , що лежить на  $k$ .

<sup>1</sup> На рис. 38, 39, 40  $\zeta$ -площа і  $z$ -площа накладені одна на одну і при тому, що точкам, які зливаються, відповідають однакові комплексні числа.

Для цієї вартості формула (5) дає

$$Z = c + \frac{m^2}{a - bi + m + a + bi} = -a - bi + \frac{m}{2a + m}.$$

Це число відповідає точці  $B$ , через це описуваний точкою ( $Z$ ) обвід кола проходить через точку  $B$ .

Тепер даймо  $z$  вартість:

$$z = -a - bi - m,$$

що відповідає точці  $A$  на обводі  $k$ . Для цієї вартості  $z$  формула (5) дає

$$Z = -a - bi + \frac{m^2}{-a - bi - m + a + bi} = -a - bi - m,$$

тобто маємо число, що відповідає точці  $A$ . Отже, обвід кола, описуваний точкою ( $Z$ ), проходить через точку  $A$ .

Залишається довести, що обводи дотикаються в точці  $A$ . Для цього треба знайти  $dZ$  і  $dz$  для точки  $A$ . Коли виявиться, що в точці  $A: dZ = \pm dz$ , то твердження доведено, бо тут безконечно малі вектори, що йдуть із точки  $A$  до сусідньої точки кожного з обводів, лежать на тій самій прямій (і йдуть в один бік, якщо є верхній знак, і в різні боки коли є нижній).

На підставі (5) маємо:

$$dZ = -\frac{m^2}{(z - c)^2} dz,$$

але для точки  $A: z = -a - bi - m$ , так що в точці  $A$ :

$$dZ = -\frac{m^2}{(-a - bi - m + a + bi)^2} dz$$

або

$$dZ = -dz.$$

Отже формулу (3) доведено.

На підставі (\*)

$$\frac{AQ}{AO} = \frac{m}{m + 2a}$$

Ця формула дозволяє знайти точку  $Q$  (центр кола  $K$ ), коли  $b = 0$ , тобто для симетричного профіля (див. рис. 40).

### § 3. Обчислення сил, що чинять на профіль М. Є. Жуковського

Ми бачили вже, що для того, щоб знайти течію поза довільним профілем і щоб обчислити сили, які впливають на цей профіль, досить знати функцію

$$z = g(\zeta)$$

введену в § 6 розділу II.

У даному випадку на підставі формули (3) функція  $z = g(\zeta)$  має форму

$$z = \frac{c + \zeta + V(\zeta - c)^2 - 4m^2}{2}, \quad (6)$$

де знак радикала визначається з умови, що при  $\zeta = \infty$  також  $z = \infty$ ; що її одержати, ми розв'язали співвідношення (3) щодо  $z$ .

Формула (6) приводить до такого розкладу функції  $z$ , справедливого для великих модулем вартостей  $\zeta$ :

$$z = \zeta - \frac{m^2}{\zeta} - \dots \quad (7)$$

Комплексний потенціял  $F(\zeta)$  для профілю матимемо, коли у вираз<sup>1</sup>

$$f(z) = (-u_0 + iv_0)z - \frac{R^2(u_0 + iv_0)}{z} + \frac{\Gamma}{2\pi i} \ln \frac{z}{R},$$

знайдений для потенціалу в разі, коли профілем є коло, замість  $z$  підставити вираз (6).

Ми бачили раніш, що

$$\frac{dF(\zeta)}{d\zeta} = \frac{df}{dz} \cdot \frac{dz}{d\zeta}, \quad (8)$$

тому

$$\frac{dF}{d\zeta} = u - iv = \left\{ (-u_0 + iv_0) + \frac{R^2(u_0 + iv_0)}{z^2} + \frac{\Gamma}{2\pi iz} \right\} \left\{ 1 + \frac{m^2}{\zeta^2} + \dots \right\}$$

бо на підставі (7)  $\frac{dz}{d\zeta} = 1 + \frac{m^2}{\zeta^2} + \dots$

Крім того, на підставі (7)

$$\frac{1}{z} = \frac{1}{\zeta - \frac{m^2}{\zeta} + \dots} = \frac{1}{\zeta} + \frac{m^2}{\zeta^3} + \dots = \frac{1}{\zeta} + \dots$$

У § 5 розділу II ми зазначили, що у виразі  $\frac{dw}{d\zeta}$  (а тут у виразі  $\frac{dF}{d\zeta}$ ) досить знати тільки три перші члени розкладу за спадними степенями  $\zeta$ .

Тому то в усіх поданих розкладах ми спинялися на членах другого порядку щодо  $\frac{1}{\zeta}$ .

Збираючи подані формули, маємо:

$$\begin{aligned} \frac{dF}{d\zeta} &= \left\{ (-u_0 + iv_0) + \frac{R^2(u_0 + iv_0)}{\zeta^2} + \frac{\Gamma}{2\pi i \zeta} \right\} \left\{ 1 + \frac{m^2}{\zeta^2} + \dots \right\} = \\ &= (-u_0 + iv_0) + \frac{\Gamma}{2\pi i \zeta} + \frac{R^2(u_0 + iv_0) + m^2(-u_0 + iv_0)}{\zeta^2} + \dots \end{aligned}$$

Ми бачимо, що

$$B = R^2(u_0 + iv_0) + m^2(-u_0 + iv_0),$$

звідки

$$B_1 = u_0(R^2 - m^2)$$

$$B_2 = v_0(R^2 + m^2).$$

Зауважмо тепер, що на підставі (3)

$$\frac{d\zeta}{dz} = 1 - \frac{m^2}{(z - c)^2},$$

тому в точці  $z = c - m$ , що лежить на профілі (це буде кутова точка  $A$ ) матимемо

$$\frac{d\zeta}{dz} \Big|_{z=c-m} = 1 - \frac{m^2}{m^2} = 0.$$

Отже в точці  $A$  похідна  $\frac{d\zeta}{dz}$  дорівнює нулеві, а, значить, вираз  $\frac{dz}{d\zeta}$  у цій точці стає безконечністю.

<sup>1</sup> Цей вираз різничається від формул (19) з розділу II тим, що тепер радіус циліндра позначені через  $R$ , а не через  $a$ .

Тому, що комплексну швидкість потоку, що обтікає профіль, дає формула (8), то в точці  $A$  профілю буде безконечна швидкість.

У § 1 цього розділу ми вже звернули увагу на це. Там таки й говорилось, що для того, щоб уникнути безконечних швидкостей, треба надати циркуляції цілком певної вартості.

Справді, щоб вираз (8) мав конечну вартість у точці  $A$ , де другий множник  $\frac{dz}{d\zeta}$  стає безконечністю, ми повинні вимагати, щоб у точці  $A$  до-

рівнював нулеві перший множник  $\frac{df}{dz}$ . Але ми вже бачили (див. § 5.

розділ II), що вираз  $\frac{df}{dz}$  стає нулем тільки в двох (критичних) точках. Тому точка  $A$ , якій відповідає число  $z = -a - bi - m$ , повинна бути однократною з критичних.

Згадуючи, що комплексні числа, які відповідають критичним точкам, знаходять з рівняння

$$-u_0 + iv_0 + \frac{R^2(u_0 + iv_0)}{z^2} + \frac{\Gamma}{2\pi zi} = 0,$$

бачимо, що комплексне число, яке відповідає точці  $A$ , повинне сповіджувати це рівняння.

Перше ніж підставляти в це рівняння

$$z = -a - bi - m,$$

згадаймо, що в перетвореному потокові швидкість на безконечності дорівнює

$$(-u_0 + iv_0) \left( \frac{dz}{d\zeta} \right)_{\zeta=\infty},$$

а що  $\frac{dz}{d\zeta} = 1 + \frac{m^2}{\zeta^2} + \dots$ , то на безконечності  $\frac{dz}{d\zeta} = 1$ ; тож у перетвореному потокові величина й напрям швидкості на безконечності залишаються такими самими, що й у первісному потокові. Тому можна сказати, що  $u_0 + iv_0$  є комплексна швидкість руху крила.

Пам'ятаючи ще, що ми величину швидкості крила позначали раніше через  $V_0$ , а кут між швидкістю профілю та віссю  $x$  через  $\alpha$ , так що

$$u_0 + iv_0 = V_0 e^{i\alpha},$$

і що раніше ми ввели позначення

$$\frac{a+m}{R} = \cos \beta, \quad \frac{b}{R} = \sin \beta,$$

так що

$$z = -a - bi - m = -R(\cos \beta + i \sin \beta) = -Re^{i\beta},$$

матимемо таку умову для визначення  $\Gamma$ :

$$-V_0 e^{-i\alpha} + V_0 e^{i\alpha} \cdot e^{-2\beta i} - \frac{\Gamma}{2\pi i R e^{i\beta}} = 0,$$

звідки

$$\Gamma = 2\pi i R V_0 [e^{i\alpha} e^{-\beta i} - e^{-i\alpha} e^{i\beta}]$$

або

$$\Gamma = 4\pi R V_0 \frac{e^{i(\beta-\alpha)} - e^{-i(\beta-\alpha)}}{2i} = 4\pi R V_0 \sin(\beta - \alpha) \quad (9)$$

Отже, щоб не було безкінечних швидкостей, треба, щоб циркуляція вартість, визначувану формулою (9).

Цей вираз дає величину підіймальної сили у формі

$$P = \rho V_0 \Gamma = 4\pi R \rho V_0^2 \sin(\beta - \alpha) \quad (10)$$

Ми бачимо, що підіймальна сила пропорційна до квадрату швидкості певною мірою залежить від кута устави крила щодо потоку, інакше кажучи, від кута між напрямом руху профілю та якимсь певним напрямом, звязаним із профілем. Цей кут звуть кут атаки.

Як основний напрям для відлічувань кутів атаки, можна було б узяти, приміром, вісь  $X$ . Тоді кут атаки дорівнював би  $\alpha$ . Замість цього, зрушише за основний напрям узяти лінію  $AO$ , що йде в центр кола  $k$  (на якому побудовано профіль М. Є. Жуковського) з точки  $A$  (тобто з точки, що перетвориться в кутову точку крила).

Цей напрям звуть „перша вісь профілю“. Кут між напрямом руху та першою віссю (кут атаки щодо першої осі) позначмо через  $\alpha_1$ , так що

$$\alpha_1 = \beta - \alpha$$

Тоді формула (10) набере вигляду

$$P = 4\pi R \rho V_0^2 \sin \alpha_1, \quad (11)$$

звідки виходить, що, коли профіль рухається в напрямі першої осі, підіймальна сила дорівнює нулеві; звідси випливає важливе значення першої осі. Разом із тим ще раз підкреслюється важливість твірного кола  $k$  профілю. Не беручи навіть на увагу звязок профілю з цим колом через конформне відтворення, зручно в  $\zeta$ -площині, де є профіль, разом з профілем будувати й це коло, як фігуру, „аеродинамічно“ звязану з профілем.

Обчислімо тепер момент  $M$  сил тиску щодо точки  $\zeta=0$ . Щоб пояснити, що вибрано саме цю точку, як центр моментів, нагадаємо ще раз, що  $\zeta=0$  є центр кола  $k$ , на якому побудовано профіль М. Є. Жуковського.

Для цього ми маємо формулу

$$M = 2\pi \rho (v_0 B_1 - u_0 B_2),$$

$B_1 + iB_2$  визначають із розкладу функції  $\frac{d\omega}{d\zeta}$ . У розгляданому випадку, підставі знайдених раніш співвідношень

$$B_1 = u_0 (R^2 - m^2), \quad B_2 = v_0 (R^2 + m^2)$$

$$M = 2\pi \rho \{ u_0 v_0 (R^2 - m^2) - u_0 v_0 (R^2 + m^2) \} =$$

$$= -4\pi \rho m^2 u_0 v_0 = -4\pi \rho m^2 V_0^2 \sin \alpha \cdot \cos \alpha = -2\pi \rho m^2 V_0^2 \sin 2\alpha \quad (12)$$

Формула (12) дає, отже, величину моменту сил тиску щодо центру твірного кола.

Якщо швидкість профілю йде по дійсній осі (осі  $X$ ), то момент  $M$  дорівнює нулеві.

У нас дійсна вісь, отже, є якийсь напрям, що має певне механічне значення для профілю, яке за Mises'ом звуть „друга вісь профілю“.

## § 4. Параболя стійкості

У попередньому параграфі ми бачили, що момент сил тиску на профіль М. Є. Жуковського щодо центру твірного кола дорівнює

$$M = -2\pi \rho m^2 V_0^2 \sin 2\alpha. \quad (12)$$

Отже величина цього моменту залежить від кута атаки.

Виникає питання, чи не можна знайти такої точки в площині профілю щодо якої момент має стало значення.

Виявляється, що це можливе, і що цій точці відповідає комплексне число

$$\frac{m^2}{R} e^{-i\beta} = \frac{m^2}{R} (\cos \beta - i \sin \beta),$$

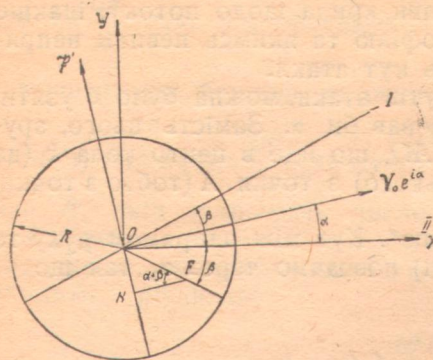


Рис. 41.

де, як і раніш,  $\beta$  є кут між першою віссю профілю та дійсною віссю (тобто між обома осями профілю).

Позначмо цю точку через  $F$  і звімо її фокусом профілю М. Є. Хковського.

Величину моменту сил тиску щодо фокуса позначмо через  $L$ .

Щоб обчислити  $L$ , треба до  $M$  дати момент сили  $\mathfrak{P}'$ , прикладеної до точки  $O$  й рівної з підіймальною силою профілю (рис. 41).

Зауважуючи, що  $OF = \frac{m^2}{R}$ , що

$OFN$  дорівнює  $\alpha + \beta$  і що момент сили щодо точки  $F$  буде від'ємний, матимемо для цього моменту вираз

$$-\mathfrak{P}' \cdot OF \cdot \cos(\alpha + \beta) = -4\pi R\rho V_0^2 \sin(\beta - \alpha) \frac{m^2}{R} \cos(\alpha + \beta).$$

Звідси

$$\begin{aligned} L &= M - \mathfrak{P}' \cdot OF \cdot \cos(\alpha + \beta) = -2\pi\rho m^2 V_0^2 \sin 2\alpha - 4\pi\rho V_0^2 m^2 \sin(\beta - \alpha) \cos(\alpha + \beta) \\ &= -2\pi\rho m^2 V_0^2 \{\sin 2\alpha + \sin 2\beta - \sin 2\alpha\} = -2\pi\rho m^2 V_0^2 \sin 2\beta. \end{aligned}$$

Ми бачимо, що  $L$  справді не залежить від кута атаки.

Позначаючи через  $h$  рамено підіймальної сили щодо фокуса, матимемо

$$h = -\frac{L}{P} = \frac{2\pi\rho m^2 V_0^2 \sin 2\beta}{4\pi R\rho V_0^2 \sin \alpha_1} = \frac{m^2 \sin 2\beta}{2R \sin \alpha_1} = \frac{h_0}{\sin \alpha_1},$$

де  $h_0$  є якийсь сталій для крила відтинок, а  $\alpha_1$ , як раніш ми прийняли, є кут атаки щодо першої осі.

Спустімо тепер з фокуса (рис. 42) нормалю на першу вісь і відкладімо на нормалі від точки  $F$  відтинок  $h_0$ . Цю нову точку  $S$  візьмімо за вершок, а  $F$  за фокус параболі, так що дотична до параболі в її вершкові буде рівнобіжна з першою віссю. Позначмо цю дотичну через  $T$ . Проведімо, нарешті, через  $F$  приступу в напрямі швидкості профілю.

Нехай ця приступа перетинає  $T$  в точці  $G$ . Тому що  $\alpha_1$  є кут між напрямом руху профілю та першою віссю, то

$$\angle SGF = \alpha_1.$$

Значить,

$$GF = \frac{h_0}{\sin \alpha_1} = h$$

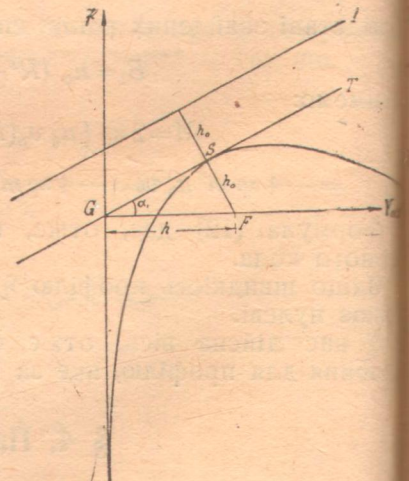


Рис. 42.

і є рамено підіймальної сили; через це підіймальна сила проходить через точку  $G$  і нормальну до радіуса-вектора  $FG$ .

іл

Через властивість параболі проста, нормальна до радіуса-вектора на її вершині, що лежить на дотичній до параболі у вершку, сама дотикається до параболі. Отже, побудована парабола обгортає прості, по яких іде підімальна сила для різних кутів атаки<sup>1</sup>.

Ці міркування показують на важливе значення для профілю побудованої параболі, деякі автори звуть параболу підімальними силами або параболя метацентрів (а також параболя стійкості). На рис. 43 профіль нарисовано разом із параболею підімальних сил, осями й твірним колом.

Теорію параболі підімальних сил дали Чаплигін.

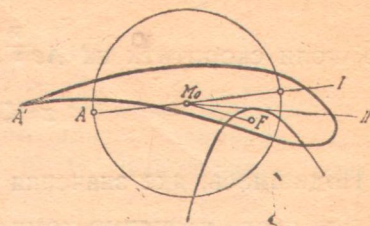


Рис. 43.

### § 5. Підімальна сила, момент і параболя стійкості для будь-якого профілю

Ми вже говорили, що властивості будь-якого профілю можна дослісти, якщо для цього профілю знайдено функцію зображення (конформне відтворення). Тому бажано дослідити, який характер функції зображення в найзагальнішому випадку і як залежать властивості профілю від тих неозначених сучинників, що входять у склад функції зображення.

Візьмімо в площині (рис. 44) якийнебудь профіль і віднесімо його до якоїсь тимчасової системи координат  $\xi'$ ,  $\eta'$ , так що кожне

комплексне число в цій площині буде у формі  $\zeta' = \xi' + i\eta'$ .

Обсяг поза цим профілем зображенімо на обсяг поза певним колом, що лежить в іншій площині.

Візьмімо, що ця нова площа віднесена до тимчасових координат  $x'$ ,  $y'$  так, що кожне комплексне число у цій площині буде у формі

$$z' = x' + iy',$$

щохай центр кола лежить у точці  $z' = 0$ ; щодо радіуса кола, то він залишається покищо неозначений.

Давши радіосові будь-яку вартість, приміром 1, ми можемо на підставі теорем теорії функцій з певністю говорити, що функція зображення віснує, і для великих  $|z'|$  має розклад:

$$z' = A\xi' + B + \frac{C_1}{\zeta'} + \frac{C_2}{\zeta'^2} + \dots \quad (15)$$

Покладаючи, що

$$\frac{C_1}{A} = -m^2 e^{i\theta}$$

$m$  і  $\theta$  дійсні числа, введімо нові змінні замість  $z'$  і  $\zeta'$ , а саме покладімо

$$z' = Ae^{\frac{i\theta}{2}} z, \quad \zeta' = e^{\frac{i\theta}{2}} \zeta - \frac{B}{A}. \quad (16)$$

<sup>1</sup> Нетрудно показати, що перша вісь профілю — це директриса побудованої параболі й друга вісь профілю дотикається до параболі.

Тоді формула (15) дасть

$$Ae^{\frac{i\theta}{2}} z = Ae^{\frac{i\theta}{2}} \zeta - B + B - \frac{Am^2 e^{i\theta}}{e^{\frac{i\theta}{2}} \zeta} + \dots$$

або, коли скоротити на  $Ae^{\frac{i\theta}{2}}$ ,

$$z = \zeta - \frac{m^2}{\zeta} + \frac{q_2}{\zeta^2} + \dots \quad (17)$$

Подивімось, яке значення має перетворення (16).

Для цього позначмо комплексне число  $\frac{B}{A}$  через  $\xi'_0 + i\eta'_0$  та перепишмо другу з формул (16) у формі:

$$\xi' + i\eta' = \left( \cos \frac{\vartheta}{2} + i \sin \frac{\vartheta}{2} \right) (\xi + i\eta) + \xi'_0 + i\eta'_0.$$

Перемноживши і порівнявши потім дійсні та уявні члени в лівій і правій частині, матимемо дві рівності:

$$\xi' = \xi'_0 + \xi \cos \frac{\vartheta}{2} - \eta \sin \frac{\vartheta}{2}$$

$$\eta' = \eta'_0 + \xi \sin \frac{\vartheta}{2} + \eta \cos \frac{\vartheta}{2},$$

що, як відомо з аналітичної геометрії, показують, що друге із співвідношень (16) є перетвір координат  $\xi'$ ,  $\eta'$  в координати  $\xi$ ,  $\eta$  через перенес початку координат у точку

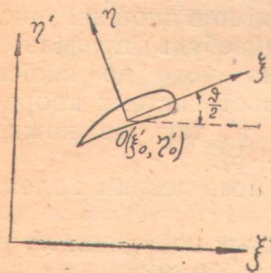


Рис. 45.

$(\xi'_0, \eta'_0)$  й поворот осей на кут  $\frac{\vartheta}{2}$  в додатному напрямі (рис. 45). Тому то ми раніше і назвали координатні осі  $\xi'$ ,  $\eta'$  тимчасовими.

Покладаючи  $z' = Ae^{\frac{i\theta}{2}} z$ , ми робимо в площині кола теж якийсь поворот осей і, крім того якщо  $|A| \neq 1$ , робимо розтяг; полягає він у тому що модуль кожного комплексного числа множать на певне постійне число (в даному разі на  $|A|^{\frac{i\theta}{2}}$ )

$$|z'| = |A| \cdot |z|$$

Тому коло, на обсяг поза яким робимо зображення, маючи, як і раніше центр в початкові координат, матиме радіус уже не рівний з одиницею а рівний з якимсь числом  $R$ , що залежить від розмірів вибраного в  $\zeta$ -площині профілю.

Отже, вибираючи відповідно радіус кола й координатні осі, можна досягти того, щоб функція зображення мала розклад

$$z = \zeta - \frac{m^2}{\zeta} + \frac{q_2}{\zeta^2} + \dots,$$

де сучинник при  $\frac{1}{\zeta}$  є від'ємне число.

Накладімо тепер  $z$ -площину на  $\zeta$ -площину так, щоб осі координат у цих площинах злилися.

Тоді коло  $z$ -площини накладається на профіль. Це коло має для довільного профілю значення, аналогічне тому, яке має твірне коло для профілю М. Є. Жуковського.

Назвімо це коло основним колом досліджуваного профілю. Припускаючи, як і раніш, що профіль має ззаду кутову точку, візьмімо точку обводу основного кола, що відповідає цій кутовій точці, і сполучімо її з центром основного кола; цей новий напрям назвімо — „перша вісь профілю“.

Другою віссю, як і раніш, назвімо дійсну вісь (вісь  $X$ ).

Кут між осями, як і раніш, позначмо через  $\beta$ .

Тепер не трудно бачити, що формула для вислідної сил тиску й формула для моменту цієї вислідної відносно центру основного кола зберігають ту саму форму, що й для профілю М. Є. Жуковського, тобто

$$P = 4\pi R \rho V_0^2 \sin(\beta - \alpha) \quad (10)$$

$$M = -2\pi \rho m^2 V_0^2 \sin 2\alpha. \quad (12)$$

Справді, виводячи ці формули, ми користалися з того, що

$$\frac{dz}{d\zeta} = 1 + \frac{m^2}{\zeta^2} + \dots,$$

з якої зазначені члени на силу й момент не впливали. Але й тепер у загальному випадку перші члени розкладу матимуть таку саму форму.

Тільки в загальному випадку, який ми тепер розглядаємо,  $R$  і  $m$  не мають того простого зв'язку з профілем, як це було у випадку профілю М. Є. Жуковського.

Так само переносять на загальний профіль поняття про параболу стійкості та всі формули, виведені для неї.

Збираючи сказане в цьому параграфі, ми приходимо до висновку, що для того, щоб визначити сили й момент у загальному випадку, треба знати радіус основного кола, положення точки, що відповідає задньому кутові, число  $m^2$  у розкладі функції зображення.

Найпростішим випадком функції зображення є та, що приводить до профілю М. Є. Жуковського.

Цей профіль залежить тільки від трьох параметрів  $R$ ,  $m$ ,  $\beta$ ; міняючи  $m$ , ми можемо міняти глибину, грубину йувігнутість профілю. Отож, через це є змога наблизитись до тих профілів, що їх уживають в авіації. Проте, коли є багато параметрів, можна мати більшу різноманітність формах профілів, а, значить, і більшу змогу вибирати найраціональніші з них.

## § 6. Ідея методи М. Є. Жуковського та узагальнення її

Ще перед дослідами М. Є. Жуковського, які привели до профілю, що носить його ім'я, досліджували профілі, які мали форму дуги кола або дучки, утвореної двома дугами.

Конформні відтворення обсягів поза такими профілями на обсяг поза колом були добре відомі<sup>1</sup>.

Спинімось на дучці, бо в окремому випадку вона переходить у дугу.

Нехай частину  $Z$ -площини поза дучкою (рис. 46) зображене за допомогою функції

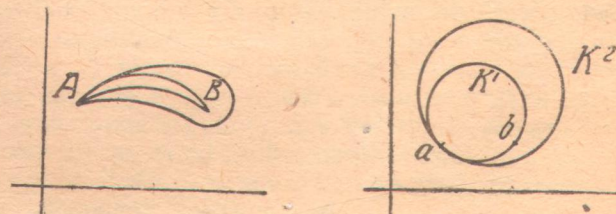


Рис. 46.

$$Z = g(z)$$

на обсяг поза якимсь колом у  $z$ -площині їх нехай при цьому точки  $A$  й  $B$  зображуються в точках  $a$  й  $b$ .

<sup>1</sup> Див. додаток I у кінці книжки.

У точках  $a$  й  $b$  конформність порушується, бо в кутових точках похідна функції зображення обертається на нуль.

Головна незручність профілю  $AB$  (дучки) в тому, що тут загострена не тільки задній, а й передній кінець.

Щоб згладити передній кінець, М. Є. Жуковський побудував у  $z$ -площині друге коло, що обіймає перше й дотикається до нього в точці  $a$ .

При розгляненому конформному відтворенні цьому колу відповідатиме замкнена лінія, що обіймає дучку  $AB$ . Ця нова лінія проходить через точку  $A$  і в цій точці вона дотикатиметься дуг, що утворюють дучку, бо обвід кола  $K_2$  дотикається до обводу кола  $K_1$  у точці  $a$ .

А що поза точками  $a$  й  $b$  зображення конформне, то профіль, що відповідає обводові  $K_2$ , не матиме, крім  $A$ , інших кутових точок, і передня частина його буде закруглена.

У наслідок утворюється профіль, близький до вживаних на практиці. Зокрема профіль М. Є. Жуковського повстане тоді, коли ці міркування застосувати не до дучки, а до звичайної дуги. Після М. Є. Жуковського багато авторів і надто Кагман, Trefftz і Mises винайшли нові, загальніші профілі. При цьому насамперед за „кістяк“ узято дучку замість звичайної дуги. Тому, що в дучці з'являється новий параметр, а саме її кут, то тут уже маємо більшу різноманітність профілів. Можна за кістяк взяти многокутник, для якого конформне відтворення дається формулою Schwarz-Christoffel'я, а потім повторити подані тут міркування.

У зв'язку з цим цікаві досліди W. Müller'a.

## РОЗДІЛ IV

### ВИХРОВІ ЯВИЩА В ПЛОСКО-РІВНОБІЖНОМУ ПОТОКОВІ

#### § 1. Роля в'язкості в процесі утворення циркуляцій

Уявімо собі, що течиво, де є нерухомий профіль  $C$  (рис. 47), спочатку перебуває в спокої, а потім поволі починає рухатись, так що через якийсь час на профіль починає набігати якийсь рівномірний на безконечності потік.

Утворення підіймальної сили (що є дослідний факт), з одного боку, і неможливість безконечної швидкості в задній кутовій точці, з другого боку, примушують нас визнати, що під час руху течива повинна постати якась циркуляція навколо досліджуваного профілю.



Рис. 47.

Візьмімо в площині профілю якийсь течний контур, що спочатку (момент  $t_0$ ) мав положення  $L_0$ , а в якийсь момент  $t$  зайняв положення  $L$ . Тому, що спочатку жадного руху взагалі не було, то в момент  $t_0$  по контурові  $L_0$  циркуляція дорівнювала нулеві. За Thomson'овою теоремою про сталість циркуляції по течному контурові повинна дорівнювати нулеві циркуляція по контурові  $L$  у момент  $t$ .

Розбиймо тепер контур  $L$  на два контури  $abca$  й  $acda$ . У момент  $t$  сума циркуляцій по цих контурах (яка рівна з циркуляцією по  $L$ ) дорівнює нулеві; але по контурові  $abca$  циркуляція не нуль, бо це є контур, що дотись щільно обіймає профіль  $C$ ; тому повинна бути відмінна від нуля циркуляція по контурові  $acda$ , інакше в сумі вони не могли б дати нуля.

Але разом із тим контур  $acda$  можна стягнути в точку, не залишаючи обсягу, занятого потоком. Тому на підставі Stokes'ової теореми нерівність з нулем циркуляції по контурові  $acda$  можлива тільки тоді, як є якісь вихри, що проймають площину, обмежену контуром  $acda$ .

Отже, ми прийшли до висновку, що під час руху (принаймні тоді, коли течія нестационарна) в течіві повинні поставати вихри.

Це заперечують Helmholtz'ові теореми про вихри.

Тому що Helmholtz'ові теореми виведено для ідеального течива, то само собою виникає думка, що спричинити постання вихрів повинна в'язкість.

Щоб з'ясувати роля в'язкості в процесі вихроутворення за крилом, дослідімо явище, що його винайшов ще 1853 року берлінський фізик Magnus і що має називу Magnus'ового ефекту.

## § 2. Magnus'iv ефект. Flettner'iv роторний корабель

Спостерігаючи літ артилерійських набоїв, Magnus помітив дуже цікаве явище, теорію якого пізніше дав Rayleigh.

Нехай у повітрі, що має на безконечності рівномірну швидкість, є кривий циліндр з нерухомою віссю, нормальню до швидкості потоку в безконечності (рис. 48).

Покладімо, що циліндр обертається з якоюсь кутовою швидкістю навколо своєї осі.

Виявляється, що на циліндр у таких умовах чинить сила, нормальна до швидкості потоку на безконечності, при чому напрям цієї сили визначається напрямом обертання циліндра.

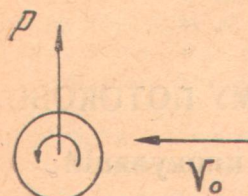


Рис. 48.

прилипання повітря до поверхні циліндра й через унутрішнє тертя в повітрі циліндер, ступнено обертаючись, тягне один за одним навколоїши шари повітря і, кінець-кінцем, постає циркуляційна течія, як навколо циліндричного вихру.

Проте, в дійсності явище буде інше. Вивчаючи такі процеси теоретично й експериментально, L. Prandtl установив, що внутрішнє тертя в повітрі надто мале, щоб безпосередньо спричинитися до утворення циркуляції. Виявилось, що значення в'язкості в цьому процесі (і в багатьох інших процесах) інше. Річ у тім, що чим бістріше міняється швидкість, тим більше впливає в'язкість, як про це вже говорилося в розділі (§ 16). Тому в середині повітря в'язкість майже нічого не важить. Отже наше зауваження в § 3 розділу I про те, що течіво з малою в'язкістю в першому наближенні можна вважати за ідеальне, є справедливим для обсягу в середині потоку.

Але коло поверхні занурених у течіво тіл картина міняється. Ту дуже падає швидкість від великих вартостей на невеликій віддалі від тіла, що перебуває в спокої, до нуля коло поверхні його, бо на поверхні тіла буває повне прилипання.

І ця зміна швидкості відбувається в надзвичайно тонкому шарі, що прилягає до поверхні тіла. У цьому шарі (у так званому поверхневому шарі) в'язкість чимало важить. За Prandtl'евою теорією саме в цьому шарі утворюються вихри, що потім відриваються від тіла й переходят у зовнішній потік. Там вони поводяться так, як в ідеальному течіві. Ця Prandtl'ева теорія насамперед пояснює ту уявну суперечність з Helmholtz'овими теоремами, про яку ми говорили раніше, подруге, вона дозволяє зовнішнє течіво вважати за ідеальне, а це спрощує розрахунки. Разом із тим, через малу грубину поверхневого шару можна вивчати процеси в ньому, застосовуючи наближені методи.

Розгляньмо трохи докладніше процес утворення вихрів (а значить циркуляції) в Magnus'овому явищі.

З того боку циліндра (рис. 49), де швидкість від обертання йде з швидкістю потоку, поверхневий шар захоплює обертовий циліндр

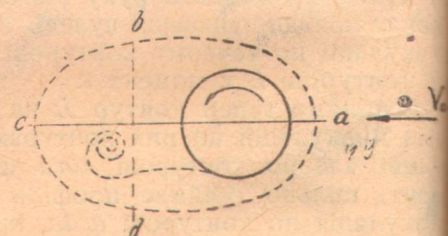


Рис. 49.

з другого боку, де ці швидкості йдуть у протилежному напрямі, він відділяється від циліндра як вихровий спіралюватий шар, що потім відкачується від циліндра, і потік несе його у вільне течиво, де від нього починається система вихрів з якоюсь циркуляцією.

Тоді ж таки так міняється розподіл швидкостей у зовнішньому просторі, що циліндр вже має певну циркуляцію, що різниеться тільки застосуванням від циркуляції навколо вихрів, що відійшли. Вихри ступнєво відходять, змінюють і поле швидкостей, а циркуляцію навколо циліндра доти, поки вихри не почнуть відділятися обох боків циліндра парами з протилежними циркуляціями.

Пізніше ми повернемось до утворення від Kartman'a теорії таких рядів вихрових пар (так званих „вихрових вулиць“), що відокремлюються від циліндра, а покищо завважимо, що зважаючи на них конче потрібно, щоб прослідити чоловій опір, бо на утворення цих рядів вихрів витрачається певна енергія. Щождо підіймальної

шахти, то тут можна нехтувати утворенням „вихрових вулиць“, а розглянути циліндер не з змінною циркуляцією, що є в дійсності, а з якоюсь постійною пересічною вартістю циркуляції так, щоб можна було застосувати вміщену в розділі II теорію.

Недавно Magnus'ів ефект використав Flettner для руху суден.

Flettner замінює вітрила високими обертовими вежами (рис. 50). Якщо вежа обертається, як зазначено стрілкою на рис. 48, то коли вітер у напрямі  $V_0$ , на циліндер впливатиме сила  $P$ .

Flettner робив спроби спочатку на човні, а потім на судні „Buckau“, яке були дві обертові вежі. Виявилось, що корисно класти зверху циліндрів широкі шайби, щоб повітря не допливало до циліндрів зверху (рис. 51).

### § 3. Теорія поверхневого шару

Щоб показати, до яких наслідків математичного характеру приводить припущення, що лежить в основі Prandtl'євої теорії про утворення коло поверхні твердого тіла поверхневого шару невеликої грубини, розгляньмо плоско-рівнобіжний рух течива, обмеженого з одного боку безконечно довгою плоскою стіною. Отже ми приймемо, що межею твердого тіла в площині течії буде вісь  $x$ .

Основні Prandtl'єви припущення про природу поверхневого шару такі:

1) Є якийсь тонкий шар, що його грубина  $\delta$  є якась функція від  $x$  і можемо через це написати, що  $\delta = \delta(x)$ , поза яким, тобто для  $x > \delta(x)$  течію можна вважати за потенціальну, а течиво за ідеальне.

2) Через невелику грубину цього шару можна вважати, що проекція швидкості на дотичну до лінії, що обмежує поверхневий шар, на границі шару має ті самі вартості, які б вона мала на границі тіла (в нас при  $u_0 = 0$ ), якби коло поверхні тіла не було прилипання, тобто якби було повне ковзання течива по цій поверхні. Цю величину позначмо через  $u_0 = u_0(x)$  (в нас  $u_0$  є константа).

3) Тиск у середині шару не залежить від  $x$  і має ту саму вартість, що і в зовнішньому потенціальному течиві коло границі шару. Взявши на заглу невелику грубину шару, можемо вважати, що в шарі тиск має ту

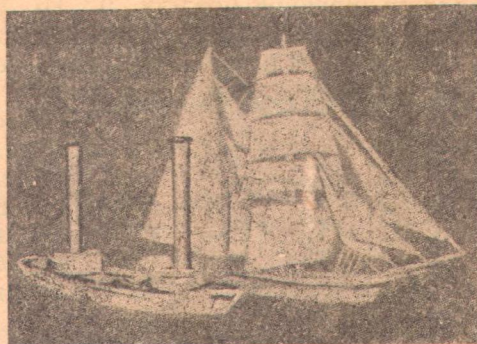


Рис. 50.

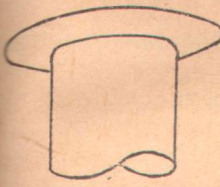


Рис. 51.

саму вартість, як і в потенціальному потокові коло поверхні тіла, я ця течія доходила до самого тіла, тобто якби вздовж поверхні тіла було можливе повне ковзання.

4) Вважаючи на те, що поза шаром течію приймаємо за ідеальну, границі шару в'язкість течива можна знектувати.

Отже поза шаром ми маємо якусь потенціальну течію, для якої спрощені рівняння розділу II. Ці рівняння дають змогу визначити та у середині шару й швидкість по осі  $x$  на межі шару, тобто  $u_0(x)$ .

Для течива в середині шару треба вивести нове рівняння. Отож і по-німого його виводити, припускаючи ввесь час, що тіло є безконечно довгим.

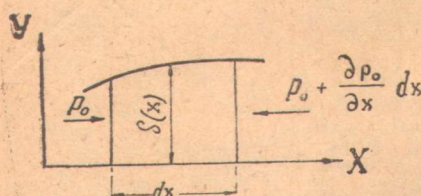


Рис. 52.

Плоска стіна. Для цього розгляньмо елемент течива, обмежений віссю  $x$  (границею тіла), поверхнею  $y = \delta(x)$  (границя поверхневого шару) і двома безконечно близькими ординатами (рис. 52). Висота шару тобто довжина в напрямі осі  $z$ , дорівнює одиниці.

Очевидно, що в зв'язку з невеликою грубою ми повинні знайти тільки одне рівняння, а саме рівняння, що відповідає осі  $x$ .

Пригадуючи § 16 розділу I, ми легко знайдемо, що проекція на вісь  $x$  сили тертя, яка постає коло поверхні стіни, дорівнює:

$$-\mu \left( \frac{\partial u}{\partial y} \right)_{y=0} dx$$

Тиск на ліву стінку виділеного елемента дорівнює

$$p_0 \delta$$

а на праву

$$-\left( \delta + \frac{\partial \delta}{\partial x} dx \right) \left( p_0 + \frac{\partial p_0}{\partial x} dx \right) = -p_0 \delta - p_0 \frac{\partial \delta}{\partial x} dx - \frac{\partial p_0}{\partial x} \delta \cdot dx$$

Крім того, треба взяти на увагу тиск на границю шару зверху, що дорівнює  $p_0 ds$ ; проекція його на вісь  $x$  дорівнює

$$p_0 ds \cdot \sin(y, n),$$

де  $n$  — нормаль до лінії  $y = \delta(x)$ , що обмежує шар. Але  $\sin(y, n) = \sin(x, T)$  де  $T$  — дотична до лінії  $y = \delta(x)$ . Тому

$$\sin(y, n) = \frac{\partial \delta}{\partial s}.$$

Отже зверху на поверхню шару припадає тиск

$$p_0 \frac{\partial \delta}{\partial s} ds = p_0 d\delta = p \frac{\partial \delta}{\partial x} dx.$$

Вислідна сила тиску має, отож, по осі  $x$  проекцію

$$-\delta dx \frac{\partial p_0}{\partial x}.$$

Тут згідно з 2°  $p_0$  є величина тиску в точці стіни (що відповідає до слідженій абсцисі) для потенціальної течії, якби вона доходила до самої стіни.

Залишається врахувати силу інерції. Для цього треба масу елементу помножити на пересічне пришвидшення по осі  $x$  і взяти його із знакомінус.

Щоб визначити пересічне пришвидшення, треба величину пришвидшення проінтегрувати по грубині шару й розділити на грубину шару. Тоді для сили інерції матимемо:

$$-\rho \cdot dx \cdot \delta \cdot \frac{1}{\delta} \int_0^\delta \frac{du}{dt} dy,$$

де  $dx \delta$  є маса елемента.

Дорівнюючи суму всіх сил нулеві, маємо рівняння поверхневого шару формі:

$$-\rho \int_0^\delta \frac{du}{dt} dy - \delta \frac{\partial p_0}{\partial x} - \mu \left( \frac{\partial u}{\partial y} \right)_{y=0} = 0 \quad (1)$$

Пригадуючи, що

$$\frac{du}{dt} = \frac{\partial u}{\partial t} + u \frac{\partial u}{\partial x} + v \frac{\partial u}{\partial y},$$

скористуємось із рівняння нестисливості

$$\frac{\partial u}{\partial x} + \frac{\partial v}{\partial y} = 0$$

зробимо такі перетворення:

$$\begin{aligned} \int_0^\delta \frac{du}{dt} dy &= \int_0^\delta \frac{\partial u}{\partial t} dy + \int_0^\delta u \frac{\partial u}{\partial x} dy + \int_0^\delta v \frac{\partial u}{\partial y} dy = \\ &= \frac{\partial}{\partial t} \int_0^\delta u dy + \frac{\partial}{\partial x} \int_0^\delta u^2 dy - \int_0^\delta u \left( \frac{\partial u}{\partial x} + \frac{\partial v}{\partial y} \right) dy + [uv]_{y=0}^{\delta} - u_0^2 \frac{\partial \delta}{\partial x} = \\ &= \frac{\partial}{\partial t} \int_0^\delta u dy + \frac{\partial}{\partial x} \int_0^\delta u^2 dy + u_0 \int_0^\delta \frac{\partial v}{\partial y} dy - u_0^2 \frac{\partial \delta}{\partial x} = \\ &= \frac{\partial}{\partial t} \int_0^\delta u dy + \frac{\partial}{\partial x} \int_0^\delta u^2 dy - u_0 \frac{\partial}{\partial x} \int_0^\delta u dy. \end{aligned}$$

До цьому ми скористувалися з того, що

$$u_{y=0} = v_{y=0} = 0; (u)_{y=\delta} = u_0;$$

значить

$$[uv]_{y=0}^{\delta} = [uv]_{y=\delta} - (uv)_{y=0} =$$

$$= u_0 [(v)_{y=\delta} - (v)_{y=0}] = u_0 \int_0^\delta \frac{\partial v}{\partial y} dy = -u_0 \int_0^\delta \frac{\partial u}{\partial x} dy = -u_0 \frac{\partial}{\partial x} \int_0^\delta u dy + u_0^2 \frac{\partial \delta}{\partial x}.$$

Також ми маємо рівняння для поверхневого шару у формі:

$$\frac{\partial}{\partial t} \int_0^\delta u dy + \frac{\partial}{\partial x} \int_0^\delta u^2 dy - u_0 \frac{\partial}{\partial x} \int_0^\delta u dy = -\frac{\delta}{\rho} \frac{\partial p_0}{\partial x} - \nu \left( \frac{\partial u}{\partial y} \right)_{y=0}. \quad (2)$$

Не зупиняючись на наближеному розв'язанні цього рівняння, що зробив Polhausen,<sup>1</sup> зазначимо тільки, що через це інтегрування можна визначити точку контура тіла, де відбувається відокремлення вихрів з поверхневого шару в зовнішній простір. Крім того, теорія поверхневого шару дала змогу теоретично оцінити ту частину чолового опору, що постачає з рухом тіла і що пояснюється тертям повітря об поверхню тіла. Експериментальна перевірка стверджує, що ця теорія поверхневого шару привильна.

#### § 4. Kármán'ові вихрові вулиці

Уже раніше говорилося, що з рухом крила в повітря ввесь час відділяються вихри з поверхневого шару в середину потоку.



Рис. 53 а.

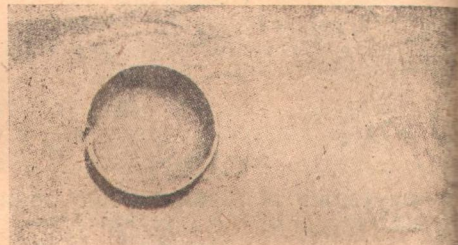


Рис. 53 б.

Якщо профіль має симетричну щодо напряму руху форму, то вихри відділяються парами (рис. 53 а, б, с) із повною циркуляцією, що дорівнює нулеві. Тут циркуляція навколо профілю не утворюється і підіймальна сила не постає.



Рис. 53 с.

Якщо немає симетрії, спочатку відбувається відділення вихрів тільки з одного боку профілю; воно триває доти, доки в зв'язку з переміщенням критичної точки потоку й утворенням циркуляції вихри не почнуть відділятися парами. Нехтуючи цим вимогами вихротворенням і вважаючи стаціонарний процес, що справді

квазистаціонарний, ми не враховуємо тієї частини чолового опору, що утворюється коштом енергії, яка витрачається на це вихротворення. Але для того, щоб обчислити підіймальну силу, це не так уже важливо припустивши, що вихротворення припиняється, коли циркуляція дійде своєї граничної вартості, ми матимемо наслідки, що добре погоджуються з досвідом.

Проте, має великий інтерес вивчення парного відділення вихрів, що з'ясувати опір, який постає в наслідок цього явища.

В цьому дослідженні можна виходити через це з розгляду симетричного профілю. В цьому випадку утворені вихри розташовуються в якості правильному порядку в формі двох рівнобіжних рядів. Ми вже зазначили, що ряди ці на честь Kármán'a,<sup>2</sup> який дослідив їх уперше, звуть Kármán'овими „вихровими вулицями“.

<sup>1</sup> Див. Polhausen, Zur nähungsweisen Integration der Differentialgleichung der laminaren Grenzschicht; Kármán. Über Oberflächenreibung von Flüssigkeiten (Zeitschr. für angew. Math. u. Mech., Bd. I, 1921). Ще раніше над розв'язанням рівняння (правда, інакше записаного) поверхневого шару працювали L. Prandtl, Blasius, Boltze та Hiemenz. (Недавно вийшов з другого російського перекладу роботи Prandtl'я 1904 р.: Л. Прандтель, Движение жидкости с очень малым трением (ЦАГІ, 1931).

<sup>2</sup> Kármán, Über den Mechanismus des Flüssigkeits- und Luftwiderstandes, 1911—1912.

Насамперед Karman дослідив умови, в яких два рівнобіжні ряди пра-  
вильно розташованих вихрів стійкі. Для спрощення він припустив, що  
вихрові вулиці тягнуться безконечно в обидва боки. Ця картина набли-  
ження має місце далеко позаду тіла.

Припустімо, що центри вихрів, що утворюють вулиці (рис. 54), лежать  
по двох простих, рівнобіжних  
віссю  $x$ , у площині ком-  
плексного змінного  $z = x + iy$ .

Лежай циркуляція навколо  
верхнього вихру верхнього ряду  
дорівнює  $+\Gamma$ , а нижнього  $-\Gamma$ .

Якщо позначити через  $l$   
відстань між двома вихрами  
одного ряду, а через  $h$  від-  
стань між рядами, то виявля-  
ється, що стійкими дослідже-  
ними ряди будуть тільки тоді,  
коли вихри розташовані в ша-  
повому порядку й при тому  
що

$$\cos h \frac{\pi h}{l} = \sqrt{2}, \quad (3)$$

$$\frac{h}{l} = 0,2806. \quad (4)$$

У таких умовах вихрові ряди рухатимуться вздовж додатної осі  $x$   
сталою швидкістю

$$u = \frac{\Gamma}{2l} \operatorname{tgh} \frac{h\pi}{l} = \frac{\Gamma}{2l} \cdot \frac{1}{\sqrt{2}}. \quad (5)$$

Далі, якщо вихри верхнього ряду розташовані в точках

$$z_0 = \frac{l}{4} + \frac{ih}{2}; \quad z_0 + l; \quad z_0 + 2l; \dots \quad z_0 - l; \quad z_0 - 2l; \dots$$

значить вихри нижнього ряду в точках

$$-z_0 = -\frac{l}{4} - \frac{ih}{2}; \quad -z_0 - l; \quad -z_0 - 2l; \dots \quad -z_0 + l; \quad -z_0 + 2l; \dots$$

комплексний потенціал течії подає така формула:

$$W = \frac{i\Gamma}{2\pi} \ln \frac{\sin(z_0 - z) \frac{\pi}{l}}{\sin(z_0 + z) \frac{\pi}{l}}. \quad (6)$$

Якщо явище обернути, надавши всім часткам течива швидкість  $-u$ ,  
тобто протилежну тій, з якою рухаються вулиці, то вихри перебувати-  
тимуть у спокої, а комплексний потенціал подає формула:

$$W_1 = -uz + \frac{i\Gamma}{2\pi} \ln \frac{\sin(z_0 - z) \frac{\pi}{l}}{\sin(z_0 + z) \frac{\pi}{l}}. \quad (7)$$

<sup>1</sup> Нагадаймо, що  $\cos h x = \frac{e^x + e^{-x}}{2}$ ,  $\sin h x = \frac{e^x - e^{-x}}{2}$ .

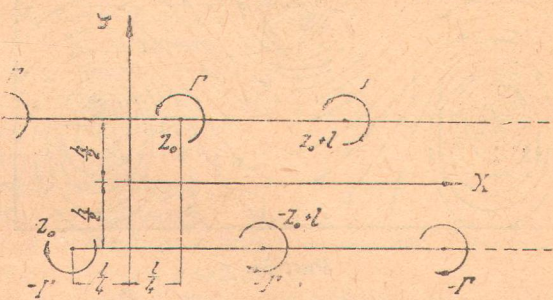


Рис. 54.

Користуючись з наведеного для комплексного потенціялу виразу, можна рисувати лінії течива для досліджуваного потоку. Наслідок поданий на рис. 55.

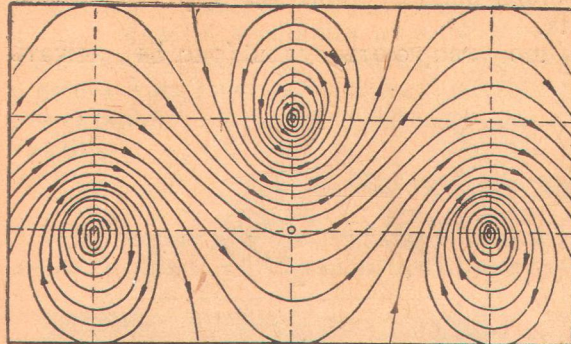


Рис. 55.

Крім того, вимір відношення  $\frac{h}{l}$  потвердив формулу (4). Після цього

Karman дослідив ту частину опору течива проти руху циліндричного тіла, що залежить від енергії, витрачуваної на утворення вулиць.

Не подаючи Karman'ових міркувань, ми скажемо тільки про наслідок. Виявилось, що для опору  $R$  маємо (що задовільно погоджується з дослідом) формулу:

$$R = \rho l v_0^2 \left[ 0,7936 \frac{u}{v_0} - 0,3141 \left( \frac{u}{v_0} \right)^2 \right], \quad (8)$$

Тут опір віднесено до одиниці висоти циліндра,  $v_0$  є швидкість руху циліндра, а  $u$  — введена раніше швидкість вулиць,  $l$  залежить від розміру циліндра і легко визначається фотографуванням. Відношення  $\frac{u}{v_0}$  можна найти, підраховуючи число утворюваних вихрів.

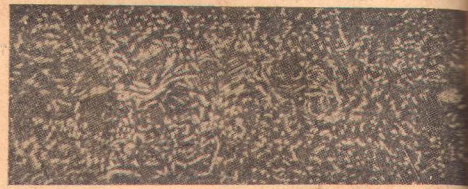


Рис. 56.

## § 5. Струминна теорія

Досі ми досліджували тільки безперервну течію течива; тепер ми розглянемо рухи іншого характеру, що на їх можливість показав уперше Helmholtz.<sup>1</sup>

Почнемо з того, що Helmholtz говорить про характер розривних течій.

Кожний знає рівну струмину насиченого димом повітря, що виходить з димаря, і інші явища, коли течіво не розходиться, тільки вої вийшовши з отвору, по всіх напрямках, а рухається спочатку компактною струminoю, з якої потім на більшій чи меншій віддалі починають утворюватися вихри.

При цьому частки течива, що прилягають до отвору, але лежать поза струminoю, залишаються майже в цілковитому спокої.

У всіх цих випадках буває ковзання одного шару течива по іншому, тобто вздовж якоїсь поверхні дотична складова швидкості зазнає розриву.

Через це постають розриви швидкості в течивах, можна за Helmholtz'ом пояснити так: нехай на платівку  $AB$  набігає потік; в точках  $A, B$  при суцільному потенціальному обтіканні (рис. 57 а) були б безконечно

<sup>1</sup> Helmholtz, Über discontinuirliche Flüssigkeitsbewegungen (Berl. Monatsberichte, 1868).

великі швидкості (як це вже зазначалося в розділі III, коли ми вивчали обтікання крила з гострим кантом); через те, що це неможливе, доводиться прийняти, що лінія течії не обгинає платівки в точках  $A$  й  $B$ , а сходить у цих місцях у вигляді вільних струмін  $AL$  і  $BM$  (рис. 57 б).

Математично досліджуючи розривні течії, роблять деякі спрощувальні припущення. Переходячи до установлення їх, відзначимо, що через них явища дуже ідеалізуються, і це треба мати на увазі в практичному застосуванні.

Ми розглядатимемо тільки плоско-рівнобіжні течії і при цьому не вихрові та стаціонарні. Ми приймемо, що в кутових точках профілю (якого ми будемо вважати

нерухомий) починаються лінії розриву тангенціальної складової швидкості, і припустимо, що ці лінії розриву тягнуться на безконечність.

Лінії розриву разом із профілем тіла обмежують застійний обсяг течива (рис. 58), де швидкість течії дорівнює нулеві.

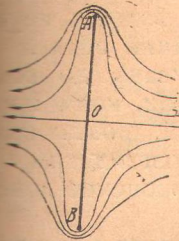


Рис. 57 а.

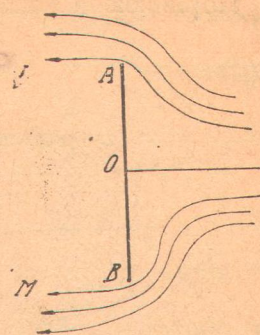


Рис. 57 б.

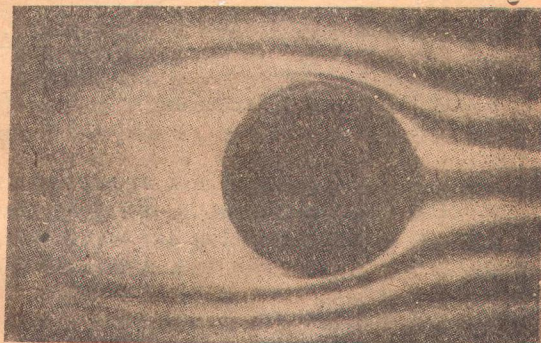
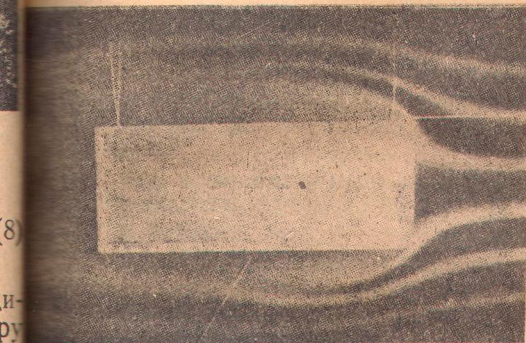


Рис. 58.

Легко бачити, що вздовж лінії розриву тиск повинен бути суцільним. Насамперед, звернімо на це увагу й використаймо інтеграл Bernoulli в обсягу, зайнятому потоком, на підставі припущення про стаціонарність руху і відсутність вихрів у течіві.

Позначаючи через  $V_0$  величину швидкості на безконечності, а через  $V$  величину швидкості в якійнебудь точці в середині течива, матимемо в обсязі, зайнятому потоком, рівняння:

$$p + \frac{\rho V^2}{2} = c = p_0 + \frac{\rho V_0^2}{2},$$

де  $p_0$  — тиск на безконечності.

Позначмо індексами 1 і 2 варості розгляданих величин у двох безконечно-близьких точках, що лежать по різні боки від лінії розриву, при чому індекс 2 віднесемо до застійного обсягу.

На підставі сказаного раніш

$$p_1 = p_2. \quad (9)$$

Далі, з одного боку, застосовуючи інтеграл Bernoulli для потоку, маємо

$$p_1 + \frac{\rho V_1^2}{2} = p_0 + \frac{\rho V_0^2}{2}, \quad (10)$$

а з другого боку, для застійного обсягу маємо

$$p_2 = p_0, \quad (11)$$

бо в застійному обсягові швидкість скрізь дорівнює нулеві і, значить скрізь мусить бути сталій.

Порівнюючи написані формули, знайдемо, що

$$V_1 = V_0.$$

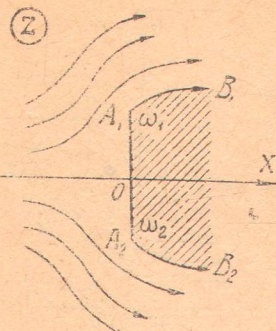


Рис. 59.

Отже, вздовж лінії розриву течіво ковзанало по величині швидкостю  $V_0$  вздовж нерухомого течива, що наповнює застійний обсяг.

Перейдімо від загальних міркувань до конкретної задачі й розгляньмо випадок, коли профілем тіла є відтинок прямотої лінії, розташованої по осі  $y$ , інакше кажучи, розглядатимемо випадок, коли перепоново буде безконечно-дійсна площа смуга.

Обмежимося на вивчені так званого простого удару (рис. 59), тобто припустімо, що потяжий набігає на платівку (смугу) на великій віддалі перед платівкою, їде нормально до платівки, що там швидкість спрямована по осі  $x$ ; приймімо

що вона спрямована в бік додатних  $x$ -ів.

В обсягу  $S$  площини комплексного змінного  $z=x+iy$ , зайнятому потоком, комплексна швидкість

$$\frac{dw}{dz} = u - iv$$

і комплексний потенціял

$$w = \varphi + i\psi$$

є аналітичні функції від  $z$ ; знайти їх — це наша остаточна мета.

Якби ми знайшли  $u - iv$  в функції від  $w$ , то для  $z$  на підставі (12) ми мали б інтеграл

$$z = \int \frac{dw}{u - iv} \quad (14)$$

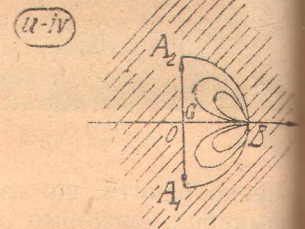


Рис. 60.

і задача була б розв'язана. Отже, ми бачимо, що для того, щоб розв'язати задачу, досить знайти  $u - iv$  в функції від  $w$ . В цьому й полягає метода Helmholtz - Kirchhoff'a. Припустімо на мить, що функції  $u - iv = \phi(z)$  і  $w = f(z)$  знайдено. Вони діють певні конформні відтворення обсягу  $S$  на площини змінних  $u - iv$  і  $w$ . Знайдемо спочатку обсяг змінного  $u - iv$  (рис. 60). В точці  $O$  обсягу  $S$  швидкість дорівнює нулеві. Вздовж лінії  $A_1A_2$  обсягу  $S$  вона вертикальна, нарешті, вздовж вільних струмин швидкість величиною дорівнює  $V_0$ , тобто точкам вільних струмин відповідають у площині змінного  $u - iv$  точки, що лежать на обводі кола з центром у точці  $w=0$  і з радіусом  $V_0$ . На підставі сказаного обсяг  $S$  зображається функцією

$$u - iv = \phi(z)$$

на півколо  $G$  в площині  $u - iv$  (рис. 60).

При цьому відповідні точки обсягів  $S$  і  $G$  позначені на рис. 59 і однаковими літерами.

Розгляньмо тепер площину комплексного змінного  $w$ . Тому що функція  $w$  цікавить нас тільки своїми похідними, що дають проекцію швидкості, то ми можемо до  $w$  додати довільну сталу. Виберімо цю сталу так, що в точці  $O$  обсягу  $S$  відповідала вартість  $w=0$ . Уздовж лінії течії, що обмежує профіль і збігає в вигляді вільних струмин, функція  $\psi$  є стала й, значить, дорівнює нулеві, бо в точці  $O$ :  $w=\varphi+i\psi=0$ . Отже, як бачимо, профіль

платівки її вільним струминам відповідає частина дійсної осі площини змінного  $w = \varphi + i\psi$  (рис. 61).

Із симетрії випливає, що в точках  $A_1$  і  $A_2$  потенціял  $\varphi$  матиме однакові варості; їх ми позначаємо через  $k$ .

Зіставляючи все сказане, знайдемо, що обсягові  $S$  відповідатиме в  $w$ -площині обсяг, що лежить поза дійсною додатною піввіссю. Позначмо цей обсяг через  $G$ .

Зауважмо, що одному берегові дійсної площини  $w$ -площина відповідає одна струменя, а другому — друга.

Будемо тепер розглядати  $u - iv$ , як функцію від  $w$ . Ця функція повинна давати конформне відтворення обсягу  $\Gamma$  на обсяг  $G$ .

Знайти залежність між  $u - iv$  і  $w$  — це значить знайти функцію, що відтворює конформно обсяг  $\Gamma$  на обсяг  $G$ . У цій задачі труднощів нема, і її можна розв'язати за допомогою поданих у додатку I відтворень. Шукане співвідношення між  $u - iv$  і  $w$  має форму:

$$u - iv = \frac{V_0 \sqrt{w}}{\sqrt{w - k} + i \sqrt{k}} = \frac{V_0 (\sqrt{w - k} - i \sqrt{k})}{\sqrt{w}}. \quad (15)$$

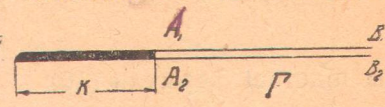


Рис. 61.

Можна безпосередньо перевірити формулу (15): справді, коли  $w$  дійсне і задовольняє нерівності  $0 < w < k$ , функція  $u - iv$  має чисто уявну варість (для верхнього берега від'ємну, а для нижнього — додатну), так що жирна частина дійсної осі обсягу  $\Gamma$  справді відповідає уявній осі обсягу  $G$ ; коли  $w$  дійсне і  $w > k$ , то  $|u - iv| = V_0$ , і ми маємо точки півколо обсягу  $G$ .

На підставі (14) і (15)

$$z = \frac{1}{V_0} \int_0^w \frac{dw (\sqrt{w - k} + i \sqrt{k})}{\sqrt{w}}. \quad (16)$$

Щоб визначити константу  $k$ , візьмімо на увагу ширину платівки (смуги).

Поклавши, що ширина дорівнює  $l$ , так що  $\omega_1 = \omega_2 = \frac{l}{2}$ , і пригадуючи, що коли  $z$  міняється вздовж уявної осі від 0 до  $\frac{il}{2}$ ,  $w$  міняється від 0 до  $k$ , знайдемо, що

$$\begin{aligned} i \frac{l}{2} &= \frac{1}{V_0} \int_0^k \frac{dw (\sqrt{w - k} + i \sqrt{k})}{\sqrt{w}} = \frac{i}{V_0} \int_0^k \frac{dw (\sqrt{k - w} + i \sqrt{k})}{\sqrt{w}} = \\ &= \frac{ik}{V_0} \left( 2 + \frac{\pi}{2} \right). \end{aligned}$$

Отже

$$k = \frac{lV_0}{4 + \pi}. \quad (17)$$

Обчислімо тиск потоку на одиницю довжини смуги.

Позначаючи цей тиск через  $R$ , зауважмо, що на елемент  $dy$  профілю зміни впливає тиск  $p_1 dy$ , а справа  $p_0 dy$ , через що разом вони дадуть:

$$(p_1 - p_0) dy.$$

Щоб знайти повний тиск, треба просумувати цей вираз по всій ширині платівки. Так матимемо, що

$$R = \rho \int_{-\frac{l}{2}}^{\frac{l}{2}} (p_1 - p_0) dy,$$

на підставі формул (10)

$$R = \frac{1}{2} \rho \int_{-\frac{l}{2}}^{\frac{l}{2}} (V_0^2 - V_1^2) dy. \quad (19)$$

Але вздовж профілю маємо  $\psi = 0$ , і, значить,  $w = \varphi$ , а тому на підставі (15) вздовж профілю

$$V_0^2 - V_1^2 = 2V_0^2 \frac{\sqrt{k - \varphi}}{\sqrt{k - \varphi + \sqrt{k}}}. \quad (19)$$

Далі вздовж профілю  $z = iy$ , так що  $idy = dz$  і тому на підставі (16)

$$dy = \frac{1}{V_0} \frac{\sqrt{k - \varphi + \sqrt{k}}}{\sqrt{\varphi}} d\varphi. \quad (20)$$

При цьому, коли  $y$  зростає від 0 до  $\frac{l}{2}$ ,  $\varphi$  міняється від 0 до  $k$ .

Підставляючи вирази (19) і (20) в формулу (18), маємо:

$$\begin{aligned} R &= \rho \int_0^{\frac{l}{2}} (V_0^2 - V_1^2) dy = 2\rho V_0 \int_0^k \frac{\sqrt{k - \varphi}}{\sqrt{k - \varphi + \sqrt{k}}} \cdot \frac{\sqrt{k - \varphi + \sqrt{k}}}{\sqrt{\varphi}} d\varphi = \\ &= 2\rho V_0 \int_0^k \frac{\sqrt{k - \varphi}}{\sqrt{\varphi}} d\varphi = \pi \rho k V_0 = \frac{\pi}{4 + \pi} \rho l V_0^2, \end{aligned} \quad (21)$$

і вираз для тиску на одиницю довжини смуги знайдено.

Так само можна розв'язати задачу про косий удар, тобто дослідити потік, що набігає на платівку не під кутом  $90^\circ$ , а під довільним кутом  $\alpha$  (рис. 62).

Формулу для тиску (опору) в цьому випадку вперше знайшов Rayleigh і вона має вигляд:

$$R = \frac{\pi \sin \alpha}{4 + \pi \sin \alpha} \rho l V_0^2. \quad (22)$$

Рис. 62.

## § 6. Експериментальна перевірка теорії

Обчисляючи в розділі III за теорією М. Є. Жуковського підіймальну силу, що припадає на одиницю довжини аероплянного крила в плоскому потокові, ми мали формулу

$$P = 4\pi R \rho V_0^2 \sin \alpha_1 = c(\alpha_1) 4 R \rho V_0^2,$$

де  $R$  — радіус основного для профілю обводу кола й де ми через  $c(\alpha_1)$  позначаємо сучинник  $\pi \sin \alpha_1$ , що залежить від кута атаки.

Цю формулу ми мали, припускаючи, що обтікання крила (завдяки певній циркуляції) відбувається плавко і швидкість у кутовій точці конечна.

Щоб перевірити цю формулу експериментально, треба поставити крило в такі умови, що (хоч і наближено) відповідали б умовам плоского обтікання.

Для цього Betz узяв модель крила, що має в усіх перекроїях однако-

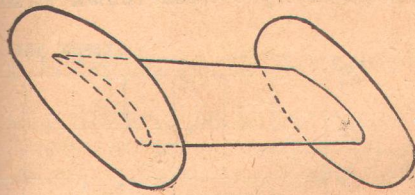


Рис. 63.

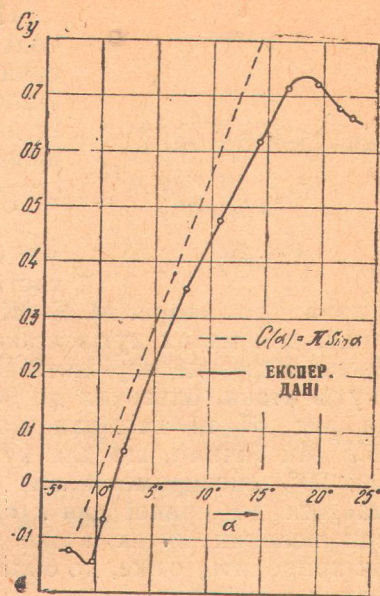


Рис. 64.

вий профіль М. Є. Жуковського, і на кінці моделі насадив плоскі шайби (рис. 63).

Ці шайби штучно відділяють потік з боків від моделю від потоку навколо самого моделю й перешкоджають повітря зовні допливати до моделю.

Вимірювання в аеродинамічній трубі привели для величини  $c(\alpha_1)$  до варостей, що відповідають приблизно законові

$$c(\alpha) = 3 \cdot \sin \alpha_1.$$

Отже, наведена раніше формула потверджується цілком задовільно. Betz'ові наслідки подано на рис. 64.

Причина, що приводить на ділі до менших варостей для  $c(\alpha_1)$  є тертя з поверхневому шарі, що трохи зменшує циркуляцію. До цього питання ми ще повернемось у розділі VI.

Звернімось тепер до Rayleigh'ової формулі:

$$R = \frac{\pi \sin \alpha}{4 + \pi \sin \alpha} \rho l V_0^2,$$

що дає опір за струминну теорією (рис. 62).

Розкладаючи повний опір  $R$  на підіймальну силу  $R_y$  та на чоловій опір  $R_x$  (рис. 65), знайдемо

$$R_y = \frac{\pi \sin \alpha \cos \alpha}{4 + \pi \sin \alpha} \rho l V_0^2 = r(\alpha) l \rho V_0^2.$$

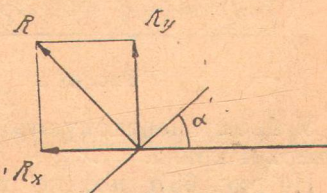


Рис. 65.

Така вартисть підіймальної сили на одиницю довжини платівки за струминну теорією.

Порівнямо цей наслідок з наслідком М. Є. Жуковського.

Для цього зауважмо, що при невеликих варостях кута, який характеризує кривину профілю М. Є. Жуковського, величина  $4R$  мало різиться від довжини тятиви, що стягає профіль (рис. 66).

Через це дослідженій раніш модель крила можна за струминною теорією наблизено розглядати, як платівку завширшки  $l=4R$ .

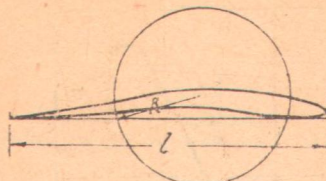


Рис. 66.

Погляньмо, до якого наслідку ми прийдемо тоді за струминною теорією. Ми бачимо, що сучинникі  $s(\alpha)$  теорії М. Є. Жуковського відповідатиме тепер сучинник  $r(\alpha_1)$ . Порівняймо їх для малих кутів атаки, що найцікавіші в авіації, і що для них Betz зробив виміри в трубі.

$$\text{Зауважуючи, що для малих } \alpha \quad r(\alpha) \approx \frac{\pi \sin \alpha}{4}$$

ми бачимо, що за струминною теорією вартисті сучинника у 4 рази менші від тих, яких приводить теорія М. Є. Жуковського, що підтверджується на досвіді.

Отже, для малих кутів атаки струминна теорія непридатна.

Цікаво через це порівняти Rayleigh'ову формулу з наслідками вимірюванням кутів атаки, близьких до  $90^\circ$ .

На рис. 67 ці наслідки подано графічно.<sup>1</sup> Ми бачимо, що для кутів, близьких до  $90^\circ$ , експериментальна крива наближається до кривої для  $r(\alpha)$ .

При великих кутах атаки струминна теорія приводить, отже, до більш-менш задовільних наслідків.

Це пояснюється тим, що при великих кутах атаки справді буває зрыв струмини, хоч у дійсності за перепоною ніколи не буває повного спокою, а, навпаки, буває вихровий рух (утворення вихрових вулиць), що збільшує головний опір, все таки можна вважати струминну теорію за перше наближення до дійсності в цих випадках.

Щодо малих кутів атаки, то крива для  $(r\alpha)$  з наслідками експерименту розходиться для них найголовніше тому, що струминна теорія враховує тільки процеси перед крилом; тим часом як процеси позаду крила (відщеплювання вихрів з поверхневого шару) важать в утворенні підймальної сили багато більше.



Рис. 68 а.

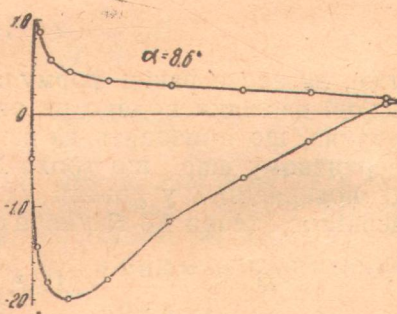


Рис. 68 б.

У цьому переконують нас наслідки вимірювань тиску в різних точках коло поверхні крила.

На рис. 68 б подано графічний розподіл вимірюваних тисків у різних точках поверхні крила.<sup>2</sup> При цьому позема вісь спрямована по тятиві крила від переднього канту до заднього; по сторчовій осі відкладають відношення тиску до швидкісного напору. Верхня частина кривої відповідає підвищенню тискові під крилом, а нижня частина — розрідженню над крилом. Виміри зроблено в Гетінгені для профілю, поданого на рис. 68 а, при куті атаки  $8.6^\circ$ .

<sup>1</sup> Рис. 67 запозичено з книги Frank-Mises, Die Differentialgleichungen und Integralgleichungen der Mechanik und Physik, II, 1927, p. 782.

<sup>2</sup> Про спосіб, застосовуваний на практиці для вимірювання досліджуваних тут явищ, сказано в кінці § 6, розділу V цієї книжки.

## РОЗДІЛ V

### МЕТОДИ ЕКСПЕРИМЕНТАЛЬНОЇ АЕРОДИНАМІКИ

#### § 1. Потреба експериментальних дослідів в аеродинаміці

Не вважаючи на чималі успіхи, що їх дійшли останніми роками в галузі теоретичної аеродинаміки, досі величезне значення має експериментальна аеродинаміка, що дає потрібний для проєктування літаків числовий матеріал через досліди.

Найприродніший і найточніший засіб, щоб мати експериментальний матеріал, було б випробування літаків у дійсних умовах льоту. Систематично ставити й опрацьовувати такі досліди є основне завдання аеродинаміки; проте досі такі досліди науково майже не опрацьовано.

Найбільше значення мають тепер досліди над моделями літаків та інших частин у так званих аеродинамічних трубах, де згідно з законом відносності класичної механіки обертають дійсні процеси, залишаючи модель у спокої й примушуючи повітряний потік з певною швидкістю набігати на нього.

Інші методи випробування моделів мають тепер тільки історичне значення й ми на них спинятися не будемо.

#### § 2. Перенесення наслідків експерименту на дійсність

При дослідах над моделями постає надзвичайно важливе питання про перенесення наслідків експерименту з одних умов в інші.

Раніше було доведено, що для того, щоб зберегти повну динамічну подібність двох різних потоків, потрібна не тільки геометрична подібність обтікання тіл, але й рівність Reynolds'ових чисел для обох потоків. Нагадаємо, що Reynolds'ове число для потоку визначається формулою

$$R = \frac{vl}{\nu},$$

де  $v$  — швидкість потоку,  $l$  — лінійна характеристика обтіканого тіла, тобто якщо будь довжина, що характеризує тіло, і, нарешті,  $\nu$  — так званий кінематичний сучинник в'язкості течива (див. § 16 розділу I).

Розгляньмо це питання трохи докладніше.

Основне завдання експериментальної аеродинаміки — знайти опір, що чинить повітря тілу, яке в ньому рухається. Численні досліди показали, що опір середовища можна виразити формулою

$$R = c\rho Fv^2, \quad (1)$$

де  $R$  — сила опору в кг,

$$\rho — \text{густини середовища} \left( \rho = \frac{\gamma}{g} \text{ кг} \cdot \text{сек}^2 \right),$$

$v$  — швидкість руху тіла в м/сек,

$F$  — якась площа, що характеризує тіло, приміром, площа міделя перекрою,

$c$  — сучинник пропорційності, який є абсолютне число, що залежить від форми тіла та міри шерехатості його поверхні.

Знайти сучинник  $c$  — ось основне завдання експериментальної аеродинаміки.

Проте, зазначений закон має тільки відносну точність: при великих вартостях швидкості  $v$  (що наближаються до швидкості звуку й перевищують її) сучинник  $c$  дуже збільшується. Це пояснюється тим, що великих швидкостях великої ваги набуває стисливість повітря, якою малих швидкостях можна нехтувати.<sup>1</sup> Але цей відхилені великої ваги авіації не має, бо найбільші швидкості льоту, що були досі, в кожен разі не перевищують 150 м/сек. Деякої ваги набуває це явище тільки для пропелерів, бо обводова швидкість їхніх кінців перевищує швидкість звуку.

Багато більшу вагу для аеродинаміки має те, що, за законом динамічної подібності потоків, ми мусимо вважати величину сучинника функцію Reynolds'ового числа  $\frac{v}{l}$ , значить, можемо ручитися за точніше перенесення цих наслідків досліду над моделем на дійсне тіло, тільки умовою рівності Reynolds'ових чисел в обох випадках:

$$\frac{v_1 l_1}{v_2} = \frac{v_2 l_2}{v_1}$$

Це надзвичайно утруднює досліди. Через те, що досліди в аеродинамічних трубах провадять здебільшого з моделями, в кілька разів меншими від справжньої величини, то зазначена умова потребує збільшити швидкість потоку в таке саме число разів, порівнюючи із справжньою швидкістю літака. Якщо, приміром, ми випробовуємо в трубі модель  $\frac{1}{5}$  натуральної величини літака, що його швидкість у повітрі дорівнює  $40$  м/сек, то ми повинні дати потокові в трубі швидкість, що дорівнює  $40 \times 5 = 200$  м/сек.

Не кажучи вже про те, як надзвичайно важко мати таку швидкість потоку, вона вже так наближається до швидкості звуку, що на наслідку досліду не можна покладатися. Можна, шоправда, замінити повітря іншою течивом з меншим кінематичним сучинником в'язкості. Якщо ми спробу будемо робити в воді, для якої сучинник  $c$  є усього у 14 разів менший від сучинника  $c$  для повітря, то нам буде потрібна швидкість потоку в 14 разів менша, тобто близько 14 м/сек. Проте, для води здійснення такої швидкості майже неможливе.

Останнім часом, щоб досягти порівняно великих величин  $\frac{v}{l}$ , будуть труби з якнайбільшим діаметром, бо тоді можна багато з деталів літака додати фюзеляжів, випробовувати в натуральній величині (приміром, величина труба ЦАГІ). В Америці, в лабораторії N. A. C. f. A.,<sup>2</sup> в Langley Field зроблено спробу штучно збільшити Reynolds'ове число, підтримуючи в герметичній трубі високий тиск до 20 атм, при якому сучинник  $c$  значно менші вартості.

Проте, навіть максимальні вартості  $\frac{v}{l}$ , досягнені при дослідах з цілими літаками й великими частинами, приміром крилами, багато менші від таких вартостей у дійсних умовах.

Порівняймо дійсні вартості цієї величини з тими, що дають найвищі міші труби для моделів крил.

Величина  $c$  для повітря в нормальніх умовах ( $15^{\circ}\text{C}$  і  $760$  мм рт. ст. срібного стовпа) дорівнює  $1,45 \times 10^{-5}$ .

За лінійну характеристику  $l$  приймімо довжину тятиви моделю або крила

<sup>1</sup> Докладніше див. Красноперов, Экспериментальная аэродинамика, стор. 15.

<sup>2</sup> National Advisory Committee for Aeronautics.

Тоді матимемо: для великої труби ЦАГІ, що має два робочі перекрої  
з діаметрами 3 м і 6 м, для швидкостей потоку відповідно 100 м/сек і  
150 м/сек і для прийнятих звичайно величин  $l=0,3$  і  $0,6$  м

$$\mathfrak{R}' = \frac{0,3 \cdot 100}{1,45 \cdot 10^{-5}} = 2,06 \cdot 10^6$$

$$\mathfrak{R}'' = \frac{0,6 \cdot 150}{1,45 \cdot 10^{-5}} = 1,24 \cdot 10^6$$

Prandtl'евої труби в Гетінгені при вартостях  $l=0,2$  м і  $v=50$  м/сек:

$$\mathfrak{R} = \frac{0,2 \cdot 50}{1,42 \cdot 10^{-5}} = 6,9 \cdot 10^5.$$

Для труби високого тиску Н. А. С. ф. А. досягнено вартість  $\mathfrak{R}=3,7 \cdot 10^6$ .

Оцінюймо тепер, приміром, порядок вартостей  $\mathfrak{R}$  для справжнього літака.

Взявши для прикладу моноплянне крило з тятивою, що дорівнює 3 м, пересічною швидкістю 150 км/год. = 41,7 м/сек, матимемо:

$$\mathfrak{R} = \frac{3 \cdot 41,7}{1,45 \cdot 10^{-5}} = 8,65 \cdot 10^6.$$

Як бачимо, дійсні вартості  $\mathfrak{R}$  чимало перевищують дослідні. Ще більшою мірою те саме буде, як випробувати цілі літаки.

Тому, щоб мати змогу перенести наслідки досліду з моделем на літак, треба детально вивчити залежність сучинника опору  $c$  від Reynolds'ового числа  $\mathfrak{R}$ .

Численні дослідники, найголовніше Prandtl, установили такий закон еволюції  $c$ : при малих вартостях  $\mathfrak{R}$  величина  $c$  лишається приблизно стала; після тім у якомусь критичному інтервалі вартостей  $\mathfrak{R}$  відбувається чимале зменшення величини  $c$ ; з дальшим збільшенням  $\mathfrak{R}$  величина  $c$  знову приблизно стала.

Звідси виходить, що ми можемо з достатньою точністю використати наслідки досліду в тому випадку, коли між вартістю Reynolds'ового числа при досліді й у дійсності не лежить критичний інтервал для  $\mathfrak{R}$ .

Наслідки дослідів показують, що чим видовженішу форму має тіло, менші будуть критичні вартості  $\mathfrak{R}$ . Через те, що вартості  $\mathfrak{R}$  в аеродинамічних трубах набагато більші, ніж критичні вартості  $\mathfrak{R}$  для деталів якієважка, що мають видовжену форму (крила, фюзеляж, стерна тощо), то наслідки випробів у них дають достатню для практики точність.

Опір же таких деталів, як тросу, розчалки, косяка тощо може дуже залежати від дослідних даних.

Через це випроби в аеродинамічних трубах роблять звичайно над моделями без цих деталів, а їхній опір визначають звичайно окремо, випробовуючи їх у натуральну величину при дійсних вартостях  $\mathfrak{R}$ .

Докладніше вплив величини  $\mathfrak{R}$  на опір різних деталів літака розглянемо.

Треба зазначити, що через невеличке розходження величини  $\mathfrak{R}$  для лабораторій, на практиці замість Reynolds'ового числа користуються звичайно з так званої характеристики досліду:

$$k = Vl.$$

### § 3. Аеродинамічні труби

Як уже не раз зазначалося, досліди над моделями роблять в аеродинамічних трубах, де модель установлюють нерухомо й обдувають потоком вентилятора. Основні вимоги до труби такі: можливість досягти як-

найбільших вартостей характеристики досліду, певна економічність та можливість регулювати швидкість, рівномірність потоку у перекрої в часі і, нарешті, зручність і точність вимірювань.

Збільшують характеристику досліду звичайно, збільшуючи розмір труби або швидкість потоку (крім згадуваної раніше Мунк'ової труби,<sup>1</sup> де зменшення доходять, зменшуючи кінематичний сучинник в'язкості). Тепер труби дійшли вже досить великих вартостей  $\xi$ , проте, вони потребують при цьому чималої потужності двигунів, через що, очевидно, поки немає змоги далі збільшувати  $\xi$  цим способом.

Економічність труби звичайно характеризують її якістю  $\xi$ , що являє собою відношення секундної живої сили потоку до потужності, підвісеної до вентилятора

$$\xi = \frac{\frac{1}{2}mv^2}{75N},$$

де  $N$  — потужність мотора в мех. конях,  $v$  — швидкість потоку в м/сек.,  $m$  — маса повітря, що проходить через якийсь перекрій за 1 сек. Підставляючи  $m = \frac{\gamma}{g} Fv$ , де  $F$  — площа цього перекрою труби в кв. м, матимемо

$$\xi = \frac{\gamma}{g} \frac{Fv^3}{150N}.$$

Приймаючи для звичайних умов  $\frac{\gamma}{g} \approx \frac{1}{8}$ , матимемо

$$\xi = \frac{Fv^3}{1200N}.$$

Один із способів збільшити економічність труби — це збудування званих дифузорів, де повітря, вийшовши з робочої частини, розширяється при цьому швидкість його зменшується, а тиск за рівнянням Бернouлії збільшується. Регулюють швидкість потоку при звичайно вживаних вентиляторах моторах сталого струму за допомогою реостатів.

Дуже важливим для труби є питання про достатню рівномірність потоку у часі, так і в просторі. Цілком очевидно, що досягти рівномірності потоку в часі при роботі із зовнішнім повітрям зовсім неможливо, і тому всі лабораторії тепер працюють з кругобігом повітря. Проте, такий кругобіг утворює небезпеку періодичного завихрення повітря. Крім того, нерівномірне обертання вентиляторів також зумовлює якусь нерівномірність потоку. Щоб знищити нерівномірність потоку в трубах, злагоджують спрямні гратниці, а іноді так звані дистрибутори.

Спряжені гратниці установлюють перед робочою частиною труби; їхнє призначення — спрямлювати струмини і розрізувати вихри в потоці. Дистрибутор, уживаний тільки в трубах простого чину (див. далі), уживають для того, щоб заспокоїти повітря в приміщенні труби; він являє собою звичайно стінку з отворами, крізь які повітря потрапляє до приміщення труби, порівнюючи рівномірно.

Зручність і точність у вимірюванні залежать від будови робочої частини труби і від застосуваних для неї вимірювальних інструментів та їхньої уставки.

Щодо будови робочої частини труби поділяють на два типи: труби з закритою робочою частиною (рис. 69) і труби з вільною струмінною (рис. 70).

<sup>1</sup> В Langley Field.

В останньому випадку потік повітря проходить крізь спокійне повітря спеціальній камері, що обіймає робочу частину труби (рис. 70). В цій камері<sup>1</sup> міститься експериментатор з усіма пристроями, через що надзвичайно зручно робити досліди, бо експериментатор перебуває безпосередньо поблизу моделю.

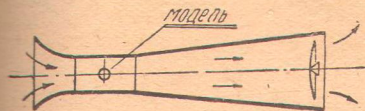


Рис. 69. Схема трубы з закритою робочою частиною

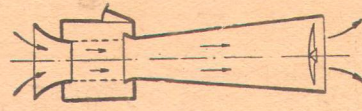


Рис. 70. Схема трубы з Eiffel'овою камерою

При цьому тиск у всій камері вирівнюється до тиску, відповідного до швидкості потоку і само собою розуміється, що тут треба добре ізолювати від зовнішнього повітря.

У трубах з закритою робочою частиною експериментатор з пристроями міститься в окремій спостережній камері, відокремленій від робочої частини труби стінкою з добре

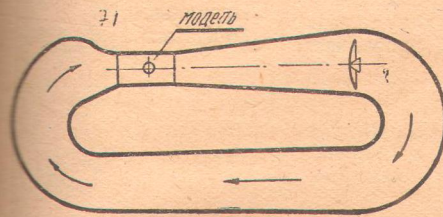


Рис. 71. Схема трубы замкненої

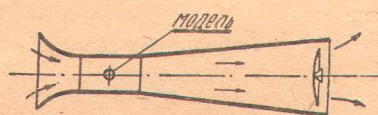


Рис. 72. Схема трубы простого чину

закритою робочою частиною можна краще регулювати потік повітря. Тим більше успішно розвиваються обидва типи труб.

Раніше було зазначено, що тепер усі труби працюють з кругобігом повітря. Якщо повітря повертається в трубу окремим каналом, через який потік стає зовсім замкнений, то трубу звати замкненою (рис. 71), що відрізняє її від труб простого чину (рис. 72), з яких повітря виходить просто в приміщення, звідки знову всмоктується в трубу.

З усього сказаного виходить, що кожна аеродинамічна труба, незалежно від типу, повинна мати такі основні частини:

- 1) лійкуватий колектор, що збирає повітря й підводить його до труби,
- 2) спрямну ґратницю перед робочою частиною,
- 3) робочу частину, де міститься модель,
- 4) проміжну частину, що утворюють її звичайно у формі конічного фузора,
- 5) мотор з вентилятором, що звичайно являє собою многолопатний вентилятор, і, нарешті,
- 6) частину для зворотного підведення повітря до труbi у формі зворотного каналу в замкнених трубах, або просто у формі приміщення, що оточує трубу, в трубах простого чину.

Не маючи змоги спинатися тут на описі різних труб, відсилаємо тих, хто цікавиться цим питанням, до книжки Красноперова, що недавно

<sup>1</sup> Так звана Eiffel'ева камера.

Та

Х а р а к т е р и с т и к а

Країна	Назва лябораторії та труби	Тип труби	Форма робочого перекрою	Розмір робочого перекрою в м
СРСР	Велика труба ЦАГІ Перша робоча частина Друга робоча частина	Прямого чину з закритою робоч. част.	Правильн. 8-кутник	$d=3$ $d=6$
	ЦАГІ Труба великої швидкості	Прямого чину з закритою робоч. часг.	Правильн. 8-кутник	$d=1,5$
Німеччина	Die Aerodynamische Versuchsanstalt zu Göttingen Велика труба	Замкненого типу з відкр. робоч. част.	Правильн. 16-кутник	$d=2,25$
	Лябораторія заводу Zeppelin (Фрідріхсгафен)	Замкн. типу з Eiffel'євою камерою	Коло	$d=2,9$
ПАСШ	Langley Memorial Aeronautical Laboratory (Вашингтон) Труба № 1	Прям. чину з Eiffel'євою камерою	Коло	$d=1,525$
	L. M. A. L. Труба № 2 (Мунк'ова)	Замкн. типу з закр. робоч. част. підвищеної тиску (до 20 атм.)	Коло	$d=1,525$
	L. M. A. L. Велика труба	Замкн. типу з відкр. робоч. частиною	Коло	$d=6,1$
Англія	National Physical Laboratory (Тедінгтон) Труба 7' № 1	Прям. чину з закр. робоч. частиною	Квадрат	$2,13 \times 2,13$
	N. P. L. Труба „Duplex“	Прям. чину з закр. робоч. частиною	Прямокутн.	$2,13 \times 4,26$
Франція	Лябораторія Eiffel'я (Паріж) Велика труба	Прямого чину з Eiffel'євою камерою	Коло	$d=2,00$
	Лябораторія „Section Technique de l'Aeronautique militaire“ (Паріж)	Прям. чину з закр. робоч. частиною	Коло	$d=4,00$

## Лиця 2

## найважливіших труб.

Площа робочого перекрою в кв. м	Найбільша швидкість $v$ м/сек	Потужність мотора $N$ (мех. к.)	Вентилятор		Якість труби $\xi = \frac{FV^3}{1200N}$	Характеристика досліду $k = Vl$
			Тип	Число обертів		
7,1 28,4	78 30	820	6-лопатний гвинт $D=6$ м	400	3,6 0,81	117 90
1,77	95	390	4-лопатний гвинт $D=3,19$ м	975	3,22	71,3
4,00	52	306	4-лопатний гвинт $D=3,00$ м	1000	1,47	58,5
6,62	50	440	4-лопатний гвинт $D=4,75$ м	550	1,67	72,5
1,83	45,0	200	Гвинт $D=2,8$ м	—	0,69	34,3
1,83	23,0	250	2-лопатний гвинт $D=2,135$ м	900	1,47	351
29,3	49	2000	8-лопатний гвинт $D=8,52$ м	375	1,45	150
4,54	18,0	48	4-лопатний гвинт	1000	0,48	19,2
9,08	34,0	400	Два 4-лопатні гвинти	1400	0,71	72,4
3,14	32	62	Гелікоїд „Zeflaive“ $D=3,8$	240	1,38	32
12,56	63	800	6-лопатний гвинт $D=8$	300	3,27	126

вийшла,<sup>1</sup> а тут розглянемо докладніше тільки велику трубу ЦАГІ, — одна знайкращих труб у світі (рис. 73).

Труба має два закриті робочі перекрої *A* й *B* з діаметрами 3 м і 6 м, чені дифузором *C* і рухомою частиною *D*, установленою на візку. роботі в першому перекрої *A* рухома частина *D* злучає обидві робочини.

Повітря втягається з приміщення в колектор *E* вентилятором *F*; вентилятор цей являє собою шестилопатний гвинт, що його обертає електромотор на 820 мех. коней. Із колектора повітря через спрямну гратницу потрапляє до першої робочої частини *A*, звідки через дифузор *G*, д

спрямну гратницю *G*, другу робочу частину йде до виходу з труби. Вийшовши з труби, повітря повертається до колектора через зворотний дифузор, що має вигляд кільцевого каналу, який розширяється обходить трубу.

Дуже довгий дифузор робить трубу надзвичайною

економічною. З відсунутою вправо рухомою частиною труба працює своїм другим робочим перекроєм. При цьому чинить тільки зворотний дифузор, розуміється, зменшує економічність труби, порівнюючи з роботою в першому перекрої. Проте, навіть при роботі в другому перекрої, економічність труби цього типу досить велика, як порівняти з іншими трубами.

На стор. 84—85 наводимо таблицю з характеристиками найвідоміших теперішніх труб.<sup>2</sup>

#### § 4. Вимірчі інструменти

Інструменти, вживані при аеродинамічних експериментах, повинні з одного боку, якнайменше збурювати потік, а з другого, давати точні наслідки. Через усі ці вимоги злагодити раціональні струменти — завдання дуже складне. Не маючи зможи тут спинятися на тому, щоб описувати конструкції вживаних інструментів, зазначимо тут тільки ті принципи, якіми вони побудовані. Докладніші відомості можна, приміром, знайти в курсі Красноперова.

Роблячи досліди, вимірюють найголовніше швидкість потоку й сили, що чинять на модель (а також їхні моменти щодо певних осей).

Вимірюють швидкість найчастіше на підставі теореми Bernoulli, порівнюючи тиск у спокійному течиві і в потокові. Найуживаніший інструмент — це трубка Pitot, що її принцип пояснено раніше (див. § 10, розділ I).

Багато складніше вимірювати сили. Сили вимірюють звичайно терезами, на які сили впливають через передатні механізми. Ці механізми є системою важелів, або дроти, що на них закріплюють моделі. Можна вимірювати окремо кожну складову сили опору й моменти її. Проте, такий спосіб вимірювати забирає багато часу, а тому тепер застосовують майже самі тільки терези, що дають зразу кілька компонентів.

Розгляньмо схеми дуже вдалих конструкцій терезів Англійської національної фізичної лабораторії та Prandtl'євих терезів.

<sup>1</sup> Красноперов, Экспериментальная аэродинамика, часть I, 1930 (вийшло вже її українською видання в Технічному видавництві).

<sup>2</sup> Підраховуючи характеристику досліду, за лінійну характеристику *l* брали розмахи модель літака, при чому вважали, що розмах моделью можна буде довести до половини повітряного розміру труби. Щоб порівняти, знайдімо характеристику справжнього літака, який має розмах 15 м і швидкість льоту 56 м/сек; вона дорівнює  $k_0 = 15 \times 56 = 840$  кв. м/сек.

Англійські терези, що їх схему подано на рис. 74,— це зразок терезів з дротяною почіпкою. Вони дають змогу визначити зразу дві компоненти сили опору й момент її коло подовжньої осі моделю.

Дослігають цього тим, що силу, яка впливає на модель, передають через рамено  $OA$  на систему важелів  $OB, OC, OD$ . На кінці  $B, C, D$  важелів впливають тягари, зрівноважуючи силу опору. Тягар, що впливає на рамено  $OC$ , визначає складову сили опору в напрямі потоку; тягар, що впливає на рамено  $BO$ ,— складову у сторчовому напрямі  $\hat{y}$ , нарешті, рамено  $OD$  через ламаний важіль  $KED$  визначає величину шуканого моменту. За допомогою нескладних додаткових механізмів цими терезами можна визначити також і ще 2 моменти й третю складову сили опору, якщо потрібно.

Рис. 75 дає схему Prandtl'євих терезів, що є зразком терезів з дротяною почіпкою. Ці терези також дають дві компоненти й один момент сили опору. Дроти  $b$  й  $c$  передають сторчову складову сили опору, розкладену до того ж на дві складові важелями  $h_2$  і  $h_3$ , осями  $l_2$  і  $l_3$  і, нарешті, важелями  $k_2$  і  $k_3$  на терези  $B$  й  $C$ . Знайочи величини й точки приложення складових підіймальної сили, ми легко знайдемо її величину й точку приложения, а, значить, і момент щодо будь-якої точки.

Дріт  $a$  передає позему складову сили опору на терези  $A$  через дроти  $e$  і  $f$ , утворюючи з ними кути в  $120^\circ$ . Останнім часом вийшли терези, що дають зразу 6 компонент, через що є змога швидко знайти 3 складові сили опору та її 3 моменти щодо осей.

Опис одної з конструкцій таких терезів подано в Lössl'євій статті, вміщений у журналі *ZFM*<sup>1</sup>.

Треба зауважити, що вимірювана на терезах сила опору моделю різиться від дійсної, бо в ній входить також опір державки моделю, а також додатковий опір, що постає в наслідок взаємного впливу державки та моделю. Крім того, на наслідок вимірювання впливають стінки труби (здо для труб невеликого розміру), можлива косина потоку та інші чинники. Кожна лабораторія має свої методи виправляти наслідки досліду, зосередивши в наслідок вимірювань відповідні поправки на вплив різних чинників.<sup>2</sup>

## § 5. Кут атаки, підіймальна сила, чоловий опір та інші величини, що характеризують крило

Як уже було зазначено, при рухові тіла щодо повітря на його поверхню впливають сили тиску, вислідна яких має називу повної сили опору повітря. У загальному випадку, щоб цілком визначити силу опору, треба знати три її складові й три моменти навколо деяких осей. Проте, у ви-

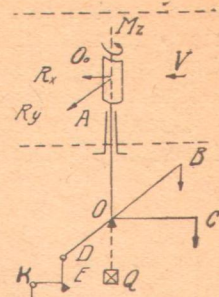


Рис. 74.

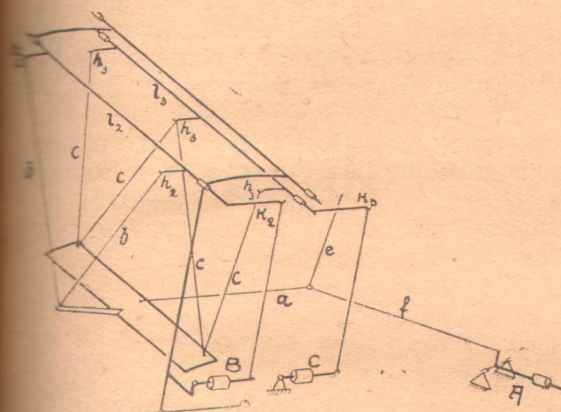


Рис. 75.

<sup>1</sup> Zeitschrift für Flugtechnik und Motorluftschiffahrt, 1930, N. 15, стор. 393—396.

<sup>2</sup> Див., прим., Юр'єв і Лесников.— „Аэродинамические исследования“, стор. 393—396; Красноперов, „Экспериментальная аэродинамика“.

падку тіл, що мають площину симетрії, рівнобіжну з напрямом потоку (напр., крила), можна вважати, що сила опору — в цій площині симетрії тому, щоб її визначити, треба знати тільки дві складові та один момент щодо якоїсь осі, нормальній до площини симетрії. Якщо тіло, як і більшість деталей літака, має дві взаємно-нормальні площини симетрії, рівнобіжні з напрямом льоту, то силу опору, спрямовану в цьому випадку перпендикулярно до напрямом льоту, визначає одна величина.

Введімо тепер деякі терміни, вживані в авіаційній техніці для крила. Перекрій крила (рис. 76) площиною, рівнобіжною з площею симетрії літака, має назву профілю крила.

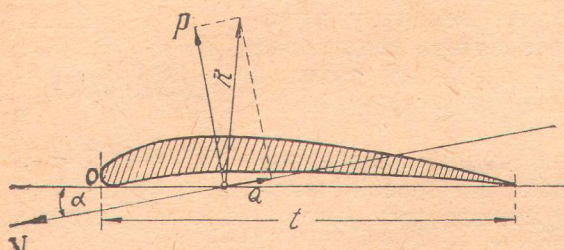


Рис. 76.

в напрямі, нормальному до площини симетрії, має назву розмаху крила.

Площою крила  $S$  звуть площу проекції крила на площину, дотичну до нижньої поверхні крила.

Проекцію профілю крила на дотичну до нижнього обрису профілю звуть тятивою (хордою) профілю, а довжину цієї проекції  $t$  — глибину профілю.

Частку від ділення площи крила на його розмах звуть середньою глибиною крила

$$t_{cp} = \frac{S}{l}.$$

Для прямокутного крила середня глибина крила дорівнює глибині профілю.

Відношення розмаху крила до його середньої глибини має назву подовження; позначають його звичайно через  $\lambda$ :

$$\lambda = \frac{l}{t_{cp}} = \frac{l^2}{S}.$$

Кут, утворюваний тятивою профілю з напрямом льоту (в трубі — з напрямом потоку), звуть геометричним кутом атаки й позначають звичайно літерою  $\alpha$ .

Як уже зазначалося, повну силу опору крила (що лежить у площині симетрії) цілком можна визначити її проекціями на дві взаємно-нормальні осі  $OX$  і  $OY$ , що лежать у цій площині, і моментом щодо осі  $OZ$  нормальної до цієї площини.

За напрями осей  $OX$  і  $OY$  беруть напрям протилежний напряму льоту — нормальний до нього. Вісь  $OZ$  звичайно проводять через проекцію переднього окраїнка профілю на тятиву (рис. 76).

Складову  $P$  сили  $R$ , спрямовану по осі  $OY$ , звуть підіймальною силою а складову  $Q$ , спрямовану по осі  $OX$ , — головим опором.

Знаючи величини  $P$ ,  $Q$  й момент сили  $R$  щодо осі  $OZ$ , ми легко можемо величину, напрям і точку приłożення сили опору повітря. Точку перетину напряму сили  $R$  з тятивою звуть центром тиску профілю.

У відміну від досліджуваного нижче дійсного або динамічного кута атаки.

Згідно із сказаним раніш, силу опору повітря дає формула

$$R = C_x \rho S v^2 \quad (6)$$

(для крил за  $S$  беруть площу крила).

Відповідно можемо написати

$$P = C_y \rho S v^2 \quad (7)$$

$$Q = C_x \rho S v^2 \quad (8)$$

Так само момент повного опору, що дорівнює добуткові сили  $R$  на певну довжину  $t'$

$$M = C_{A\rho} S v^2 t' = C_x \rho S v^2 t \cdot \frac{t'}{t}$$

можна подати формулою (беручи  $C_x \frac{t'}{t} = C_m$ )

$$M = C_m \rho S v^2 t. \quad (9)$$

При тих самих або мало відмінних Reynolds'ових числах сучинники  $C_x$ ,  $C_x$ ,  $C_y$ ,  $C_m$  залежать тільки від розміру й форми крила, а також від кута атаки.

Завданням випробування моделів крил — це знайти ці сучинники, залежно від кута атаки для різних профілів, при чому немає потреби випробовувати профіль при різних подовженнях, бо можна перерахувати зазначені сучинники з одного подовження на інше за допомогою вихрової теорії крила скінченного розмаху, яку розглянемо далі.

Наслідки експериментів можна подати в формі діяграм, що дають залежність величин сучинників  $C_y$ ,  $C_x$ ,  $C_m$  від кута атаки  $\alpha$  (рис. 77 а, в, с). Для практичної мети, проте, багато зручніша так звана Lilienthal'єва крива, що дає залежність  $C_y$  від  $C_x$ , при чому точки, що відповідають певним кутам атаки, позначають на кривій, як показано на рис. 78.

При одинакових мірилах для  $C_x$  і  $C_y$  вектор, проведений з початку координат у будь-яку точку Lilienthal'євої кривої, дає величиною й напрямом сучинник повного опору  $C_a$ .

Звичайно, проте, мірило по осі  $x$  (для  $C_x$ ) роблять у п'ять разів більше від мірила по осі  $y$ , бо величини сучинників  $C_x$  багато менші від сучинників  $C_y$ .

Ліабораторія ЦАГІ подає наслідки своїх дослідів над крилами у формі діяграми, на яку нанесено три дослідні криві (див. рис. 82): Lilienthal'еву

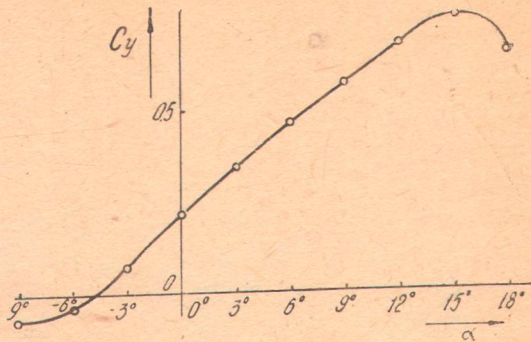


Рис. 77 а.

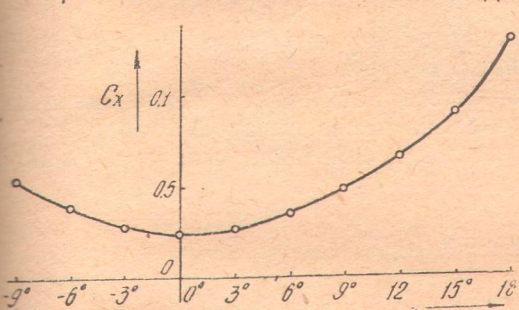


Рис. 77 б.

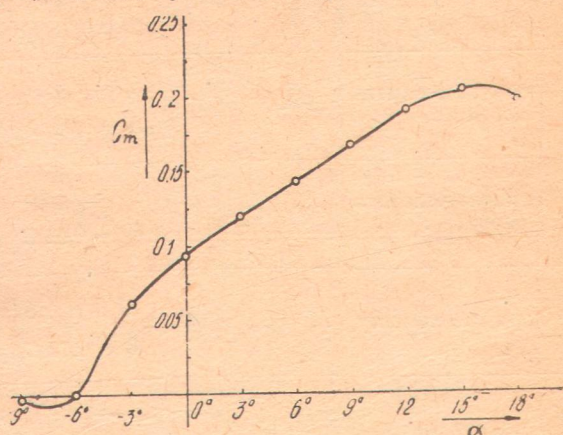


Рис. 77 с.

криву, що дає залежність  $C_y$  від  $C_x$ , криву, що дає залежність  $C_m$  від  $C_y$ .

Крім того, на діаграмі проводять ще певну параболю, так звану параболю індуктивного опору, про яку говоритимемо далі.

До кожної діаграми додають рисунок профілю й таблицю варіостей сучинників.<sup>1</sup>

Зазначмо ще, що відношення підіймальної сили крила до його чолового опору, або, що те саме відношення їхніх сучинників

звуть якістю, а величину, обернену до цього відношення  $\mu = \frac{C_x}{C_y}$ , оберненою якістю крила.

Із рис. 78 не трудно бачити, що при одинакових мірилах для  $C_y$  і  $C_x$

$$\mu = \frac{C_x}{C_y} = \tan \beta,$$

де  $\beta$  є кут між пристою, проведеною з початку координат у дану точку Lilienthal'ової кривої, і віссю координат.

Цілком ясно, що максимальну вартість якості даного крила визначить дотична до Lilienthal'ової кривої, проведена через початок координат.

На кінець наводимо таблицю формул і сучинників, уживаних у найголовніших країнах.

Таблиця 3.

	CPCP	Німеччина	Франція	Англія
Формула опору .	$R = C_a \rho S v^2$	$R = c_r q S$ $q = \rho \frac{v^2}{2}$ $R = 0,01 C_r q S$	$R = K_a S v^2$	$R = K_a \rho S v^2$
Формула підіймальної сили . . .	$P = C_y \rho S v^2$	$A = c_a q S$ $A = 0,01 C_a q S$	$R_y = K_y S v^2$	$L = K_L \rho S v^2$
Формула чолового опору . . .	$Q = C_x \rho S v^2$	$W = c_w q S$ $W = 0,01 C_w q S$	$R_x = K_x S v^2$	$D = K_D \rho S v^2$
Формула моменту	$M = C_m \rho S v^2 t$	$M = c_m q S t$ $M = 0,01 C_m q S t$	$M = K_m S v^2 t$	$M = K_M \rho S v^2 t$
Сучинник опору .	$C_a$	$c_r = 2 C_a$ $C_r = 200 C_a$	$K_a = \rho_0 C_a = \frac{1}{8} C_a$	$K_a = C_a$

<sup>1</sup> Зібрані ці діаграми в цінній книжці Юр'єва і Леснікової, „Аэродинамические исследования”.

	CPCР	Німеччина	Франція	Англія
Сучинник підйомальної сили . .	$C_y$	$c_a = 2 C_y$ $C_a = 200 C_y$	$K_y = \frac{1}{8} C_y$	$K_L = C_y$
Сучинник чолового опору . . .	$C_x$	$c_w = 2 C_x$ $C_w = 200 C_x$	$K_x = \frac{1}{8} C_x$	$K_D = C_x$
Сучинник моменту	$C_m$	$c_m(\text{нім.}) = 2C_m(\text{пос.})$ $C_m(\text{нім.}) = 200 C_m(\text{пос.})$	$K_m = \frac{1}{8} C_m$	$K_M = C_M$

## § 6. Наслідки експериментальних досліджень крил<sup>1</sup>

Перше ніж подати наслідки деяких досліджень над крилами, з'ясуємо вплив на них характеристики досліду (або числа  $\mathcal{R}$ ). Для цього L. Prandtl робив досліди над рядом профілів при різних варостях характеристики досліду  $v \cdot t$ , де  $v$  — швидкість крила в м/сек і  $t$  — глибина моделью  $M$ .

Наведені діяграми (рис. 79 і 80) є наслідки цих дослідів для грубого й тонкого профілів.

Ці діяgramи показують, що, починаючи з  $vt = 6$ , при вживаних кутах атаки (від  $-2$  до  $10^\circ$ ) Lilienthal'еві криві досить щільно сходяться. При великих кутах атаки чоловий опір тонких профілів зменшується із збільшенням величини  $vt$ , а підйомальна сила збільшується; а для грубих профілів картина буде протилежна: починаючи з кута атаки, приміром  $10^\circ$ , чоловий опір крила із збільшенням  $vt$  збільшується, а підйомальна сила зменшується.

У кожному разі на підставі цих дослідів можна дійти висновку, що випробовувати крила з достатньою точністю (обумовлено дуже невеликим упливом на сучинники Reynolds'ового числа) можна тільки, починаючи з характеристики досліду, що дорівнює 6.

Із дуже численних дослідів над моделями крил найцікавіші є досліди, що вияснюють вплив на аеродинамічні властивості крила його профілю, пляну та інших чинників, як скручування крила (zmіна кутів атаки профілю вздовж розмаху), поперечне  $V$  тощо.

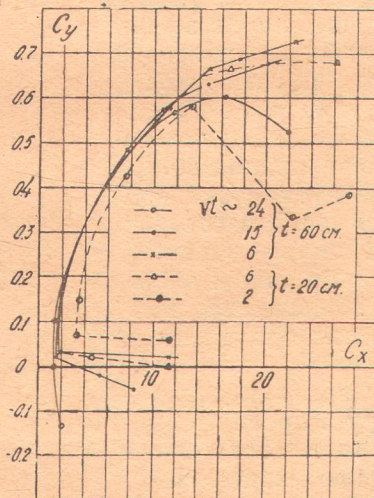


Рис. 79.

<sup>1</sup> Дані, наведені в цьому й далішому параграфах, узято з книжок: Юр'єв і Леснікова, „Аэродинамические исследования“; Fuchs und Hopf, „Aerodynamik“ та ін.

Досліди показали, що найбільше впливає на аеродинамічні властивості крила форма його профілю. Звідси постає дуже важливe питання —

Gött. 358

найкращі форми профілів. Добре повинні мати якнайбільший сучинник діймальної сили  $C_x$

якнайменшою вартістю  $C_y$ . Проте взагалі кажучи, зміна форм профілю, що спричиняє збіження  $C_y$ , збільшує разом із тим  $C_x$ . Мінімальні вартості  $C_x$  бувають для профілів із добре закругленим переднім кінцем злегка відігненим додори заднім.

Надто великий вплив добре закругленого переднього кінця, як це видно з рис. 81 а і 81 б, де подано Lilienthal'еві крила 2 профілів, що мають однакову форму, але неоднаково закруглені передні кінці.

Максимальні вартості  $C_y$  бувають при великій увігнутості та гострому задньому куті профілю. Рис. 82 а, 82 б, 82 с дають наслідки випробів для трьох профілів з однаковою

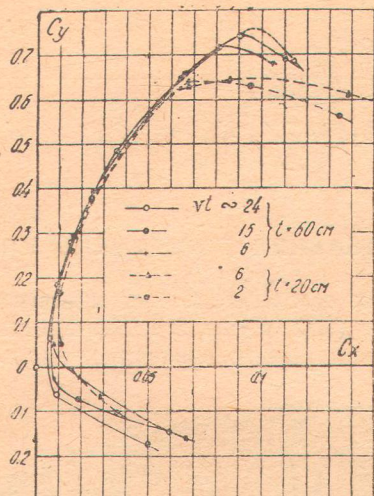


Рис. 80.

увігнутістю, але різною грубою, випробуваних у лабораторії ЦАГІ.

З них видно, що із збільшенням грубини профілю збільшується і  $C_y$ , а вартості кутів атаки, при яких  $C_y$  дорівнює нулеві, зменшуються (абсолютною величиною збільшуються, бо кути атаки при близьких до нуля вартостях підіймальної сили — від'ємні).

Чоловий опір також збільшується із збільшенням грубини профілю, проте, дуже мало.

Отже, з погляду аеродинамічного грубі профілі сприятливіші; проте, остаточний вибір профілю крила залежить від багатьох міркувань і аеродинамічного, і конструктивного характеру. Але останнім часом у багатьох конструкторів помічається сильна тенденція погрубувати профілі, при чому в крилах містять навіть пасажирські кабіни (Junkers).

Рис. 83 а, 83 б, 83 с дають наслідки випробів трьох профілів, що мають однакову грубину, але різну увігнутість. Порівнюючи їх, бачимо, що збільшення увігнутості впли-



ЦАГІ 371

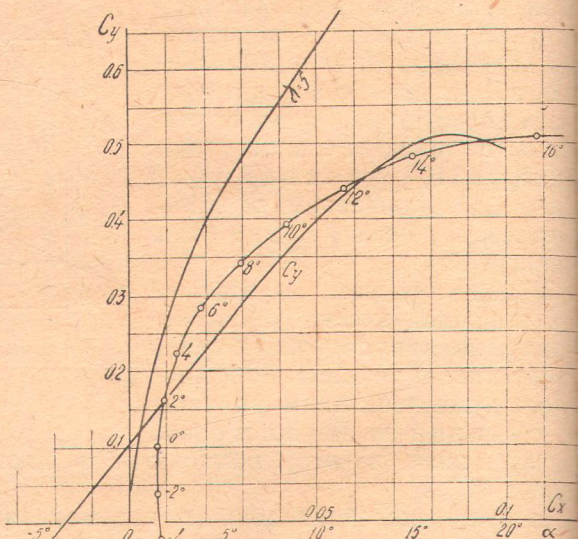


Рис. 81 а.

зас аналогічно із збільшенням грубини; в міру того як збільшується звігнутість, збільшується підіймальна сила профілю й чоловий опір та зменшується кут атаки, при якому підіймальна сила дорівнює нулеві, момент міняється так, що центр тиску наближається до переднього країка.

Цікаві досліди зроблено в Гетінгені над розрізними крилами Lachman'a "Handley Page" і опубліковано в "Ergebnisse der Aerodynamischen Versuchsanstalt zu Göttingen" (II Lieferung).

Рис. 84 показує, що вплив щілини позначається в чималому збільшенні підіймальної сили,<sup>1</sup> бо щілина перешкоджає зривові струмин при великих кутах атаки.

Збільшення підіймальної сили має велику вагу для зменшення швидкості сідання. Проте, при вживаних для поземного льоту кутах атаки таке крило дає надто великі вартості чолового опору.

Щоб запобігти цьому, додаткове крильце на літаках "Handley Page" зроблено рукою. Рис. 85 дає наслідки його випробів.

При поземному льоті крильце — в положенні *b*, при сіданні ж його переводять у положення *c*. Наслідки цього бувають дуже гарні, проте таке розсувне крило потребує досить складного механізму, що пересуває дуже обтяжене силою опору повітря крильце.

Рис. 86 дає наслідки випробів Lachman'ового крила, поділеного на 4 частини. Lilienthal'єва діяграма для цього крила має той самий характер, що й крива на рис. 84, хоч і плавкіша. Цей профіль теж дає збільшення підіймальної сили й великий чоловий опір.

Щоб порівняти, наводимо діяграму основного профілю.

Інші чинники, як форма пляну крила (прямокутня, еліптична, трапезуата, а також його скручування (zmіна кута атаки за розмахом) багато менше впливають на аеродинамічні властивості крила й піддаються почасти теоретичному дослідженню за допомогою вихрової теорії крила.

Великий інтерес мають досліди для перевірки теоретичних висновків. Лабораторія ЦАГІ зробила багато дослідів над теоретичними профілями М. Є. Жуковського, при чому виявлено, що наслідки експерименту досить добре збігаються з теоретичними висновками.

Іноді треба знати не тільки величину й напрям вислідної сили тиску, але й розподіл тиску по профілю. Щоб виміряти тиск у різних точках моделю, його звичайно роблять порожністим з отворами дуже малого діаметру (порядку 0,5 мм). Тиск у кожного з отворів через унутрішню порожнину й вивідну трубу передається до манометра (решту отворів при цьому замашують або заклеють). Наслідки таких досліджень показано, прим., в "Ergebnisse der Aerodyn. Versuchsanstalt" (II Lieferung, S. 43).

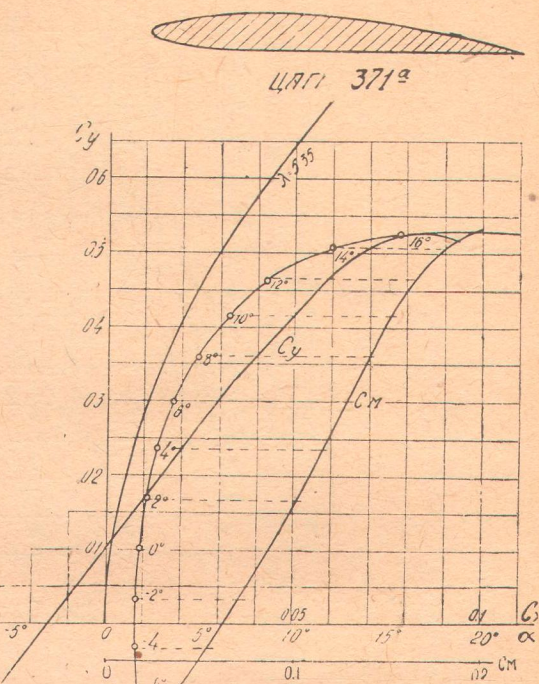


Рис. 81 b.

<sup>1</sup> Теорію цього явища ще недосить опрацьовано; див. напр. Fuchs und Hopf, "Aerodynamik".

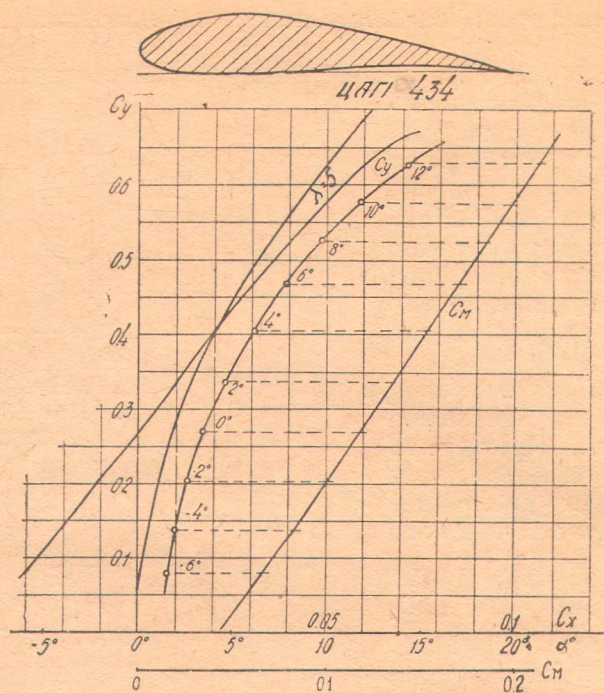


Рис. 82 а.

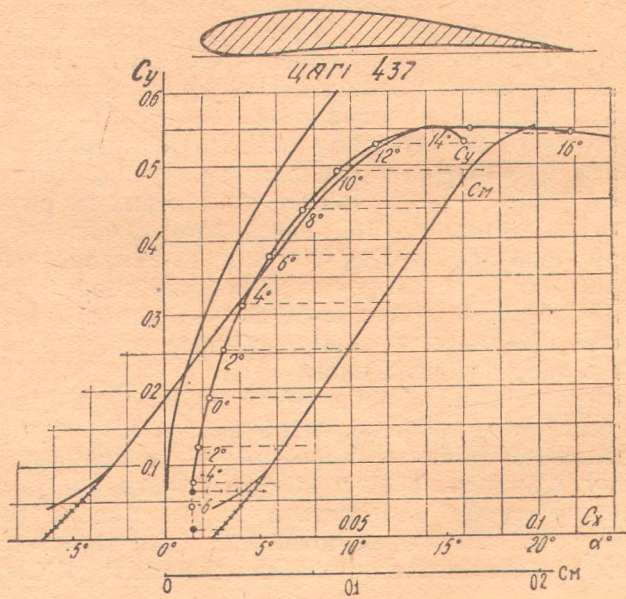


Рис. 82 б.

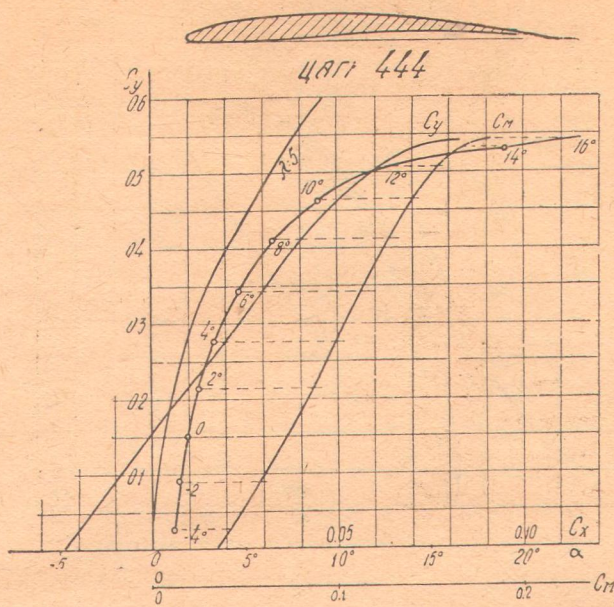


Рис. 82 с.

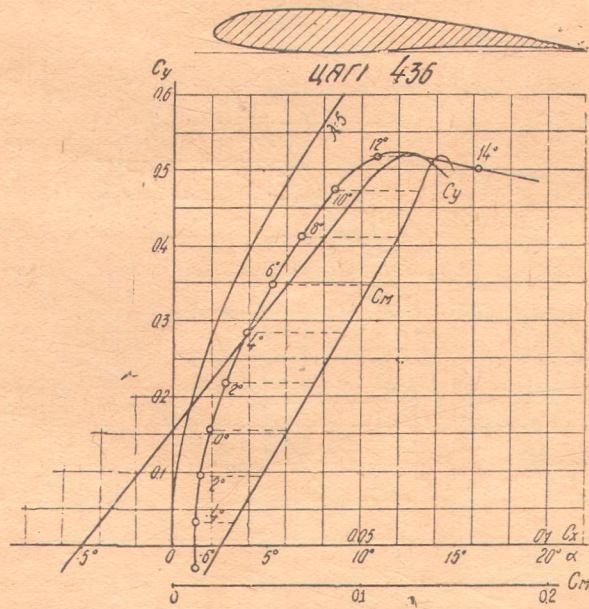


Рис. 83 а.

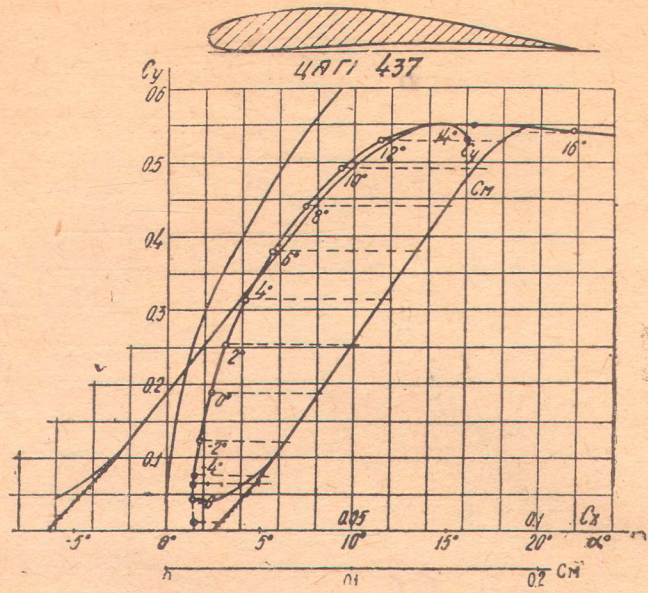


Рис. 83 б.

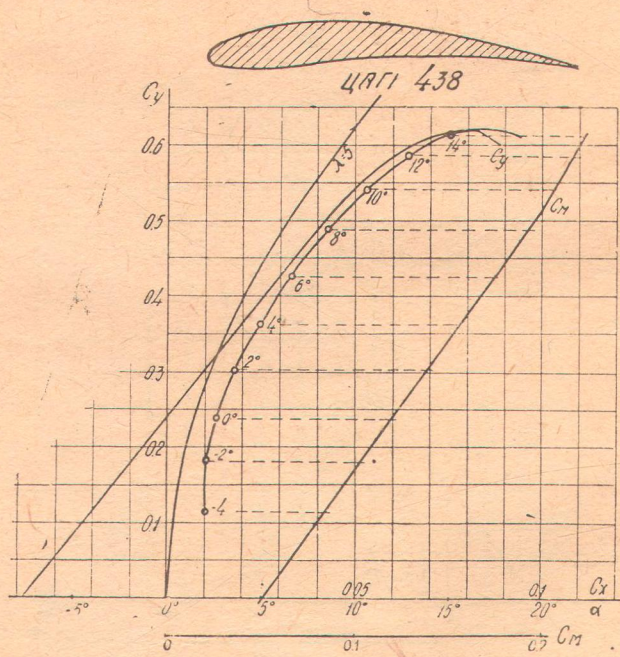


Рис. 83 с.

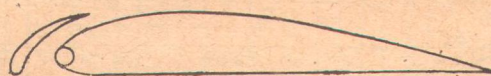
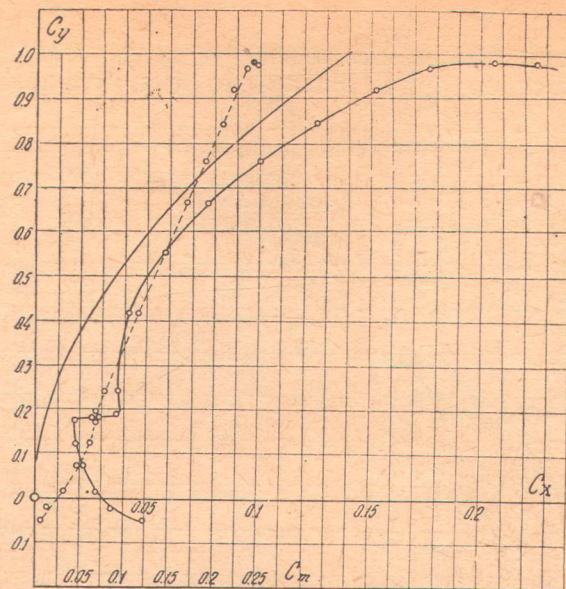


Рис. 84.

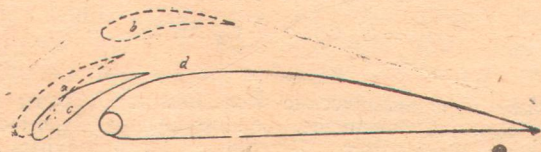
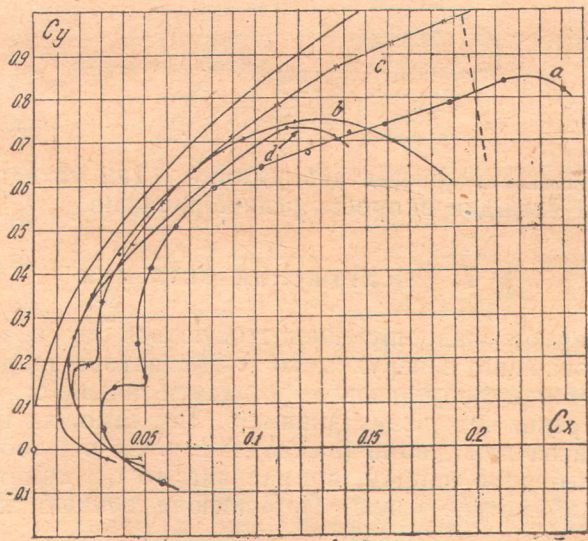


Рис. 85.

Не маючи змоги більше спинятися на надзвичайно різноманітних численних дослідженнях крил, відсилаємо тих, хто цікавиться цим

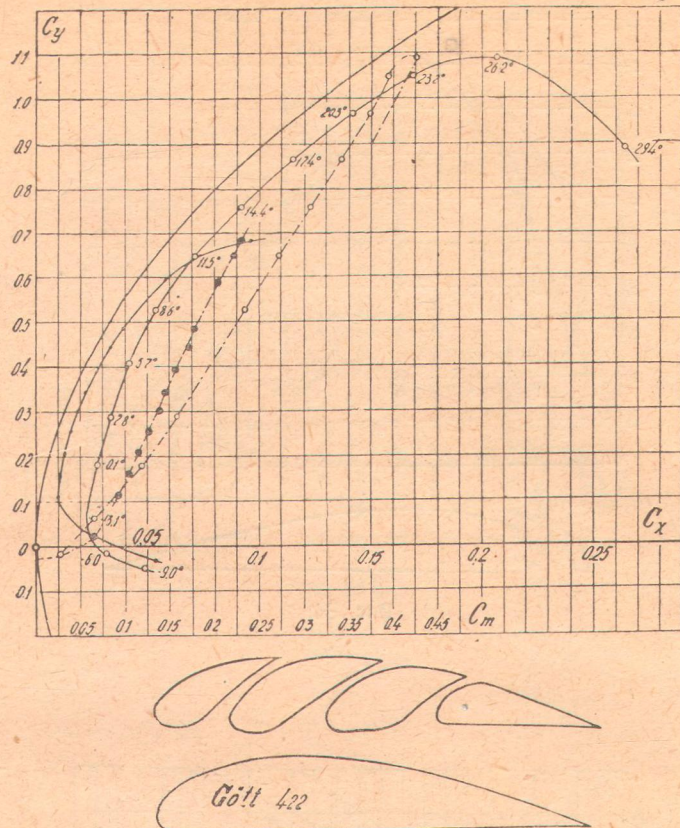


Рис. 86.

танням, до повідомень різних лабораторій.<sup>1</sup> Там таки подано потрібні при проєктуванні наслідки випробів різних профілів.

### § 7. Дослідження опірення

Більшість випробів над опіренням стосуються до поземого опірення, що складається звичайно з нерухомого стабілізатора та рухомого стерна висоти. Завдання випробів опірення — дослідити залежність аеродинамічних властивостей опірення від різних чинників. Так само, як і для крил, сила опору можна визначити двома її складовими. За осі координат для поземого опірення беремо напрям, нормальній до осі симетрії профілю і напрям  $T$ , що збігається з нею. Порівнюючи сучинники  $C_n$  і  $C_t$  із звичними  $C_y$  і  $C_x$ , матимемо (рис. 87)

$$C_n = C_y \cos \alpha + C_x \sin \alpha \quad (1)$$

$$C_t = C_x \cos \alpha - C_y \sin \alpha. \quad (2)$$

<sup>1</sup> Юр'єв і Леснікова, „Аэродинамические исследования“, „Труды ЦАГИ“; „Technical Report of the Aeronautical Research Committee“, London; „Annual Report of the National Advisory Committee for Aeronautics“, Washington; „Ergebnisse der Aerodynamischen Versuchsanstalt Göttingen“; G. Eiffel, Nouvelles recherches sur la resistans de l'air et l'aviation faites au Laboratoire d'Auteuil; G. Eiffel, Resumé des principaux travaux executés pendant la guerre. Laboratoire aerodynamique Eiffel.

При звичайних невеликих вартостях кута  $\alpha$  можна вважати, що

$$C_n = C_y \text{ і } C_t = C_x.$$

Крім того, для характеристики опірення дуже важливий так званий супутний момент, що являє собою момент сили опору повітря, яка впливає на стерно щодо його осі обертання; тому, що цей момент пропорційний до зусилля, яке треба прикласти до ручки, щоб повернути стерно, то нам треба змагатися зменшити супутний момент. Його характеризують сучинником  $C_m$ , якого маємо за формулою

$$C_m = \frac{M_m}{\rho S v^2 b},$$

$M_m$  — супутний момент в кг м,

$\rho$  — густота повітря,

$S$  — площа стерна в  $m^2$ ,

$v$  — швидкість потоку в  $m/\text{сек}$ ,

$b$  — максимальна ширина стерна в м.

Дуже впливає на величину сучинника  $C_n$  (і  $C_y$ ) подовження стерна, як це видно з рис. 88, що дає сучинник  $C_y$  для прямокутників з різними подовженнями. З нього видно, що вигідніше застосовувати опірення з найбільшим подовженням.

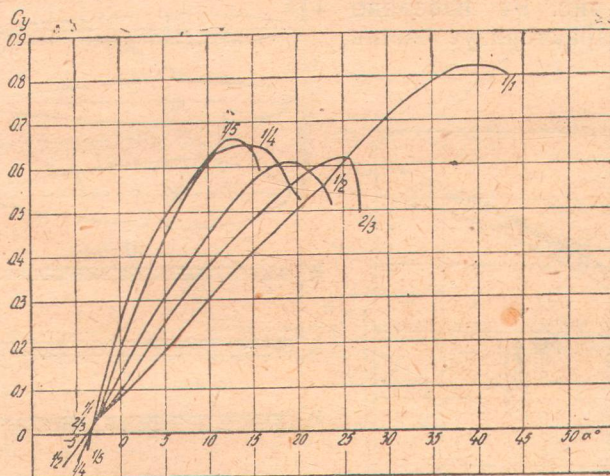


Рис. 88.

Навпаки, форма пляну стерна на його аеродинамічні властивості впливе не дуже, як це видно з рис. 89, що дають кілька вживаних форм опірення й наслідки їхніх продувань.

Тому що сили, які впливають на опірення, повинні набирати і додатні, і від'ємні вартості, профіль опірення звичайно беруть симетричний. Вплив профілю взагалі аналогічний із впливом для крил. На рис. 90 подано за Fuchs'a і Hopf'a кілька профілів з мінімальними вартостями їхніх сучинників опору; сучинник опору  $C_x$  віднесено до площини стерна.

На рис. 91 подано залежність сучинника  $C_n$  від кута відхилення стерна поданого там таки профілю.

Щоб зменшити супутний момент, іноді роблять так звану компенсацію; це полягає в тому, що вісь обертання стерна відокремлюється якесь ча-

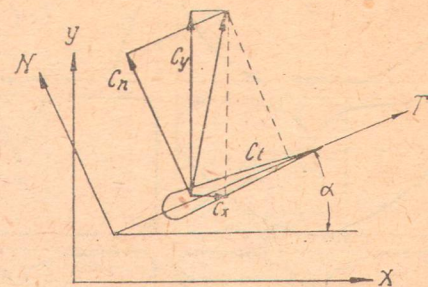


Рис. 87.

стину з площею стерна, називану компенсатором вісним (рис. 92) або бі

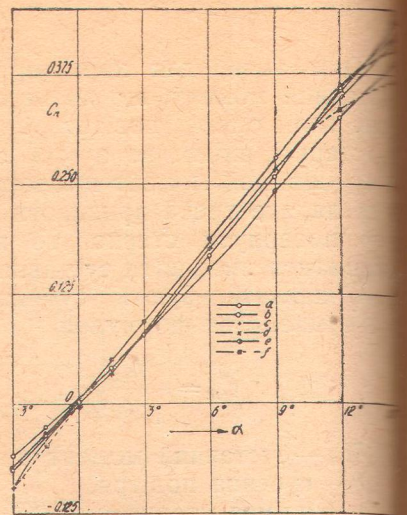
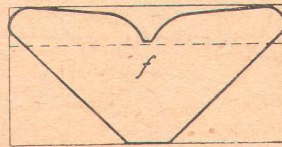
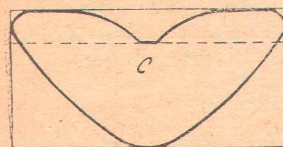
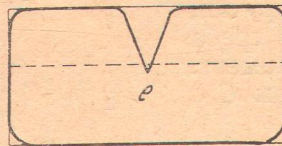
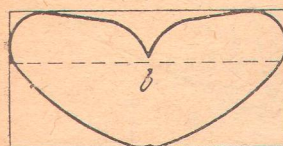
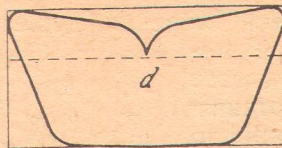


Рис. 89 а.

Рис. 89 б

ковим (рис. 93) залежно від розташування. Вплив компенсатора полягає в тому, що він частково зрівноважує супутній момент проти-лежним моментом сили опору компенсатора. На рис. 94 наведено діаграму, що характеризує вплив компенсації.

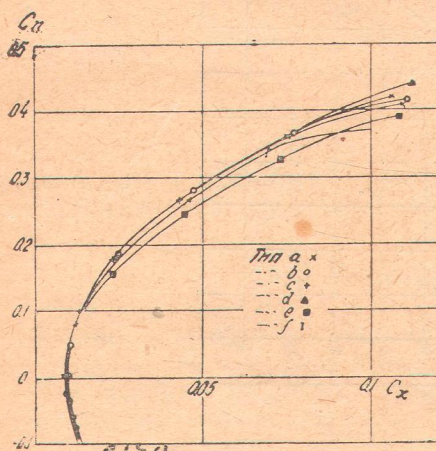


Рис. 89 с.

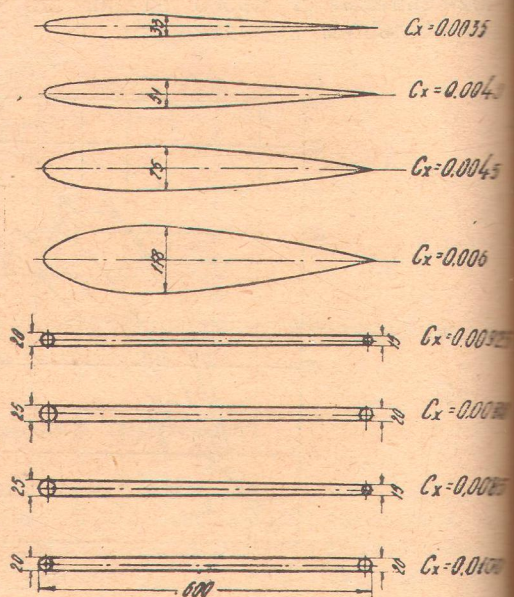


Рис. 90.

Багатий матеріал з випробів опірення, а також із дослідження впливу фюзеляжу, подано в книжці „Аэродинамические исследования по оперению самолета“ („Труды ЦАГИ“, вип. 49), куди й відсилаємо всіх, хто це цікавиться.

Значення для опірення Reynolds'ового числа взагалі таке саме, як для крил.

Для попередніх розрахунків, за Чесаловим,<sup>1</sup> можна прийняти та-

<sup>1</sup> „Материалы по аэродинамическому расчету самолетов“, стор. 45.

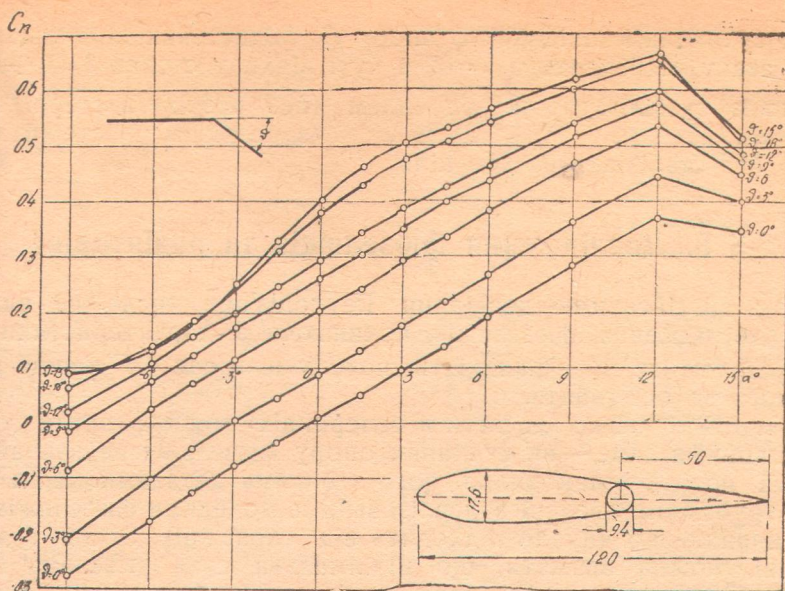


Рис. 91.

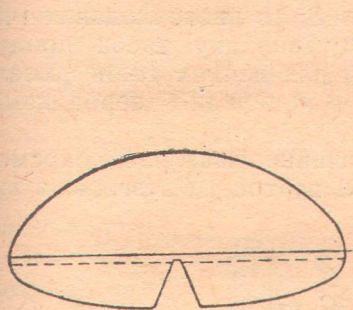


Рис. 92.

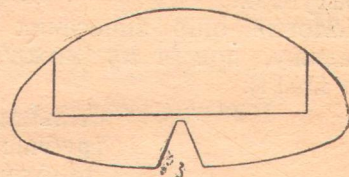


Рис. 93.

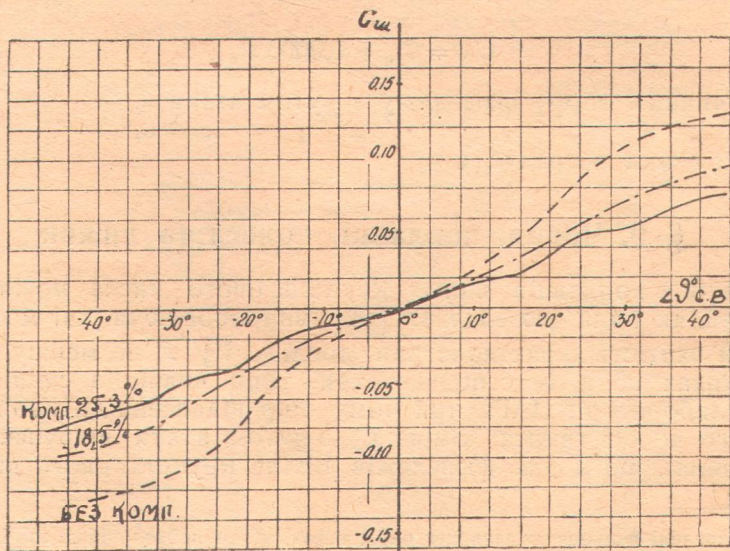


Рис. 94.

величини сучинників шкідливого опору  $C_x$  (віднесених до площини опірнення) при куті атаки стабілізатора  $\alpha = 0^\circ$  й куті відхилення стерна  $\vartheta = 0 \div 3^\circ$ .

Стерно із стабілізатором або кілем (без розрізу в стерні)  $C_x = 0,01$   
 " " " (з розрізом у стерні)  $C_x = 0,01$   
 " без стабілізатора або кіля"  $C_x = 0,01$

## § 8. Дослідження фюзеляжів та радіаторів<sup>1</sup>

Згідно з англійськими дослідами Reynolds'ове число не впливає наслідки дослідження фюзеляжів, починаючи з характеристики досліду  $VVF = 5 \text{ м}^2/\text{сек}$ , де  $V$  — швидкість потоку в  $\text{м}/\text{сек}$  і  $F$  площа габариту нормального до осі гвинта.

Такі вартості легко досягти в теперішніх трубах; проте тут маємо інші труднощі, а саме — на сучинник опору фюзеляжу надзвичайно впливає форма його й взаємовплив його з іншими деталями. Крім того, випроби в трубах, переведені з ідеалізованими моделями фюзеляжів, можуть дати сучинники, що чимало відходять від справжніх. Згідно з дослідами в Гетінгені, можна вважати, що підіймальна сила фюзеляжу становить пересічно 75% підіймальної сили вирізуваної ним частини крила.<sup>2</sup> Прі попередніх розрахунках звичайно вважають, що вона дорівнює підіймальній силі вирізаної частини крила. Тому, що сучинник чолового опору фюзеляжу  $C_x$  (віднесений до площини габариту) може коливатися між 0,05 і 0,35, залежно від форми фюзеляжу й деталів, до нього доданих (чоловік, радіатори, обтікачі тощо), його в кожному випадку треба продувати в трубі. Тут ми подаємо тільки вартості  $C_x$  для деяких типів фюзеляжів (рис. 95), що можуть бути орієнтовними в попередніх аеродинамічних розрахунках.

Чоловій опір винесених радіаторів звичайно зважують окремо від фюзеляжу, при чому можна прийняти такі вартості  $C_x$  (згідно з випробуваннями ЦАГІ):

стільникові радіатори  $C_x = 0,50$ ,  
трубчасті "  $C_x = 0,40$ ,  
Лямбленові "  $C_x = 0,30$ ,

де  $C_x$  віднесено до чолової площини радіатора.

За Чесаловим  $C_x$  для фюзеляжу з кутом атаки  $\alpha$  можна знайти за формулою:

$$C_{x\alpha} = C_{x_0} + 0,0003 \alpha^2,$$

де  $C_{x\alpha}$  — сучинник опору фюзеляжу з кутом атаки  $\alpha$ ,  
 $C_{x_0}$  — " " " " " " 0,  
 $\alpha$  — кут атаки в градусах

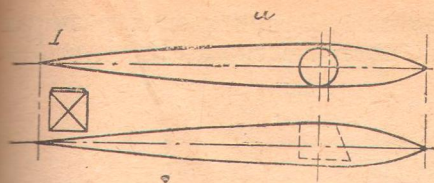
## § 9. Човни, поплавці, колеса та лижви

Для човнів і поплавців вплив Reynolds'ового числа можна прийняти такий самий, як і для фюзеляжів. Отже, випробовуючи їхні моделі в трубі треба мати уважість характеристики досліду  $V\sqrt{F}$  не меншу, як  $5 \text{ м}^2/\text{с}$ .

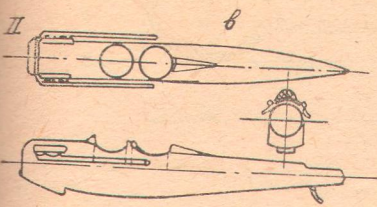
На рисунках 96 а, б, с подано три типи човнів з сучинниками С-продукті в лябораторії ЦАГІ, при чому опір віднесено до площини габариту нормального до осі гвинта. Зміна  $C_x$  з кутом атаки відбувається за таким законом, що й для фюзеляжів. Вплив Reynolds'ового числа на опір

<sup>1</sup> Дані, наведені в цьому й дальших параграфах, узято найголовніше за Чесаловим. Д. Чесалов, "Коэффициенты вредного сопротивления" („Труды ЦАГИ“, вып. 42).

<sup>2</sup> Fuchs und Hopf, „Aerodynamik“, S. 219.



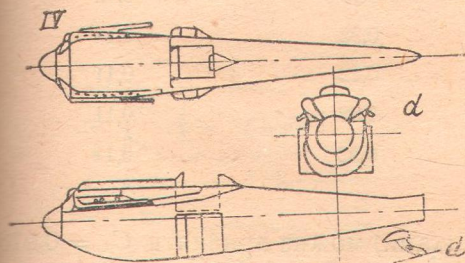
без пілота  $C_x = 0,07$ ; з пілотом  $C_x = 0,12$



$C_x = 0,20$  (з чоловим радіатором)



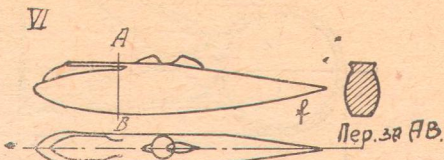
$C_x = 0,15$  (без радіатора)



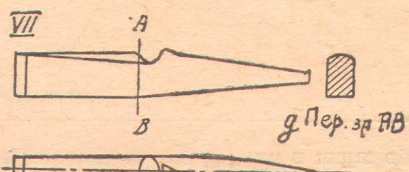
$C_x = 0,13$  (з радіатором)



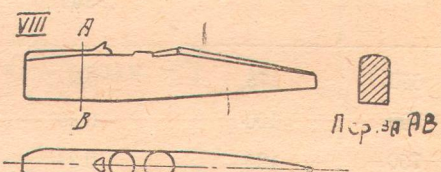
$C_x = 0,12$  (без радіатора)



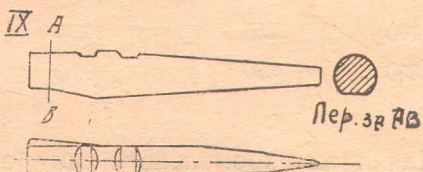
$C_x = 0,06$  (без радіатора)



$C_x = 0,90$  (з чоловим радіатором)



$C_x = 0,18$  (без радіатора)



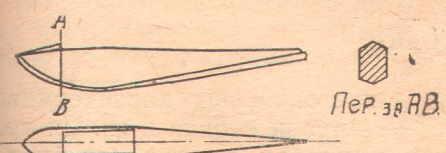
$C_x = 0,12$  (без радіатора)

Рис. 95.



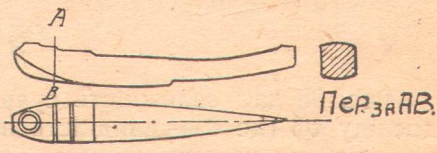
$C_x = 0,08$

Рис. 96 а.



$C_x = 0,15$

Рис. 96 б.



$C_x = 0,12$

Рис. 96 с.

коліс дуже малий. На таблиці 4 подано вартості  $C_x$  при різних розмірах коліс і способах шинування (див. рис. 97). Опір віднесено до  $D \cdot d$ , де  $D$  — діаметр колеса й  $d$  — ширина шини в м.

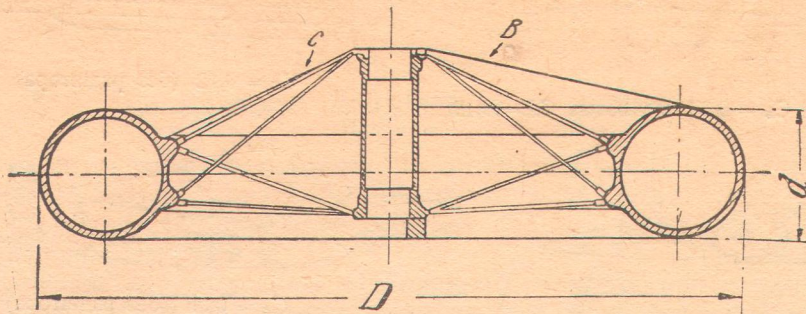


Рис. 97.

Т а б л и ц я 4.

Розмір шини в мм		Вартості $C_x$ для коліс		
$D$	$d$	з відкритими спицями	з затягненими спицями за способом $c$ , рис. 97	з повним затягненням за способом $b$ , рис. 97
650	75	0,39	0,26	0,13
700	100	0,35	0,23	0,12
750	125	0,34	0,23	0,12
800	150	0,33	0,22	0,11
900	200	0,33	0,22	0,11
1100	250	0,33	0,22	0,11
1350	300	0,33	0,22	0,11

Для лижви нормального типу (з козелками) можна прийняти  $C_x = 0,012$ , де опір віднесено до площини опірної поверхні лижви (проекція поверхні лижви на позему площину).

Вплив Reynolds'ового числа наближено можна подати формулою

$$C_x = \left( \frac{0,15}{v \sqrt{F}} + 0,14 \right) \frac{F}{S},$$

де  $v$  — швидкість потоку в м/сек,  $F$  — площа міделя в  $\text{m}^2$  і  $S$  — опірна поверхня в  $\text{m}^2$ . Випробовувати треба при вартостях  $v$ .  $\sqrt{F}$ , не менших від 5

## § 10. Стояки

Рис. 98 дає залежність сучинника  $C_x$  для стояків від характеристики досліду  $v\beta$  (де  $v$  — швидкість потоку й  $\beta$  — ширина стояка в м). Ця крива показує, що характеристика досліду при випробах стояків має бути менша від 1. На рис. 99 дано три добре профілі стояків і зазначено їх сучинники шкідливого опору  $C_x$ , віднесені до площини Міделя. Щоб зважити опір кінцевого кріплення, при розрахунку звичайно додають по 0,6

до довжини кожного стояка (або до проекції його довжини на площину, нормальну до напряму льоту при похилому положенні стояка).

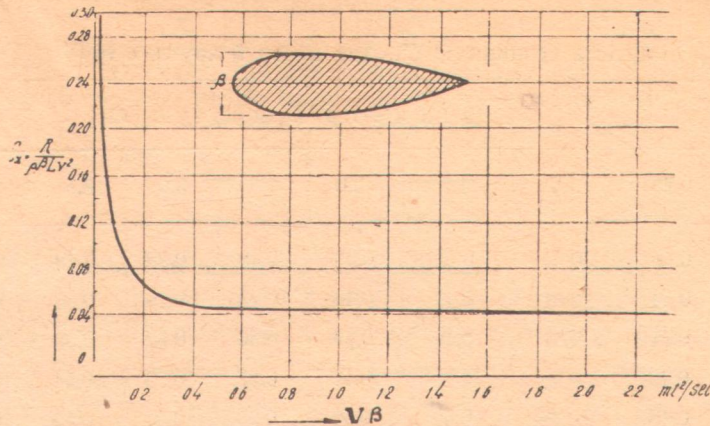


Рис. 98.

Якщо стояк працює під кутом атаки  $\alpha$ , то  $C_x$  для нього можна знайти за формулою, що запропонував Чесалов:

$$C_{x\alpha} = C_{x0} + 0,004 \frac{\alpha^2}{\lambda},$$

де  $C_{x\alpha}$  — сучинник опору стояка при куті атаки  $\alpha$ ,

$C_{x0}$  — " " " " "  $\alpha=0$ ,

$\alpha$  — кут атаки в градусах,

$\lambda$  — подовження стояка.

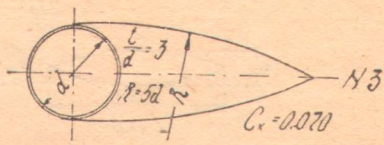
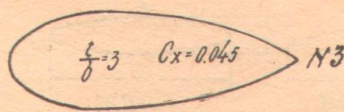
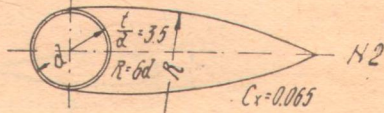
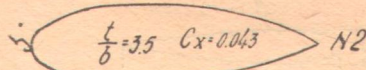
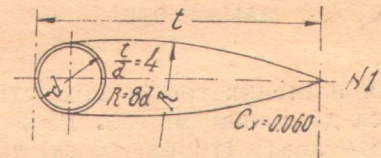
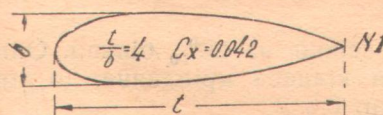


Рис. 99.

На рис. 100 дано три типи обтікачів труб з відповідними сучинниками  $C_x$ , віднесеними до площині міделя. Щоб зважити кінцеве кріплення, треба також додати по 0,6 м до довжини стояка.

## § 11. Круглий дріт, труби, троси

Опір цих деталів багато залежить від Reynolds'ового числа. При вартостях  $vD = 0,3 - 3 \text{ м}^2/\text{сек}$  можна вважати, що  $C_x$  для дроту й труб дірівнює 0,6. Проте, для тонкого дроту вартість  $vD$  в льоті може бути

менша від 0,3. Тому наводимо тут таблицю, що дає вартості  $C_x$  для кінцевого дроту й труб при різних швидкостях і діаметрі.

Таблиця 5.

Вартість сучинників  $C_x$  для дроту й круглих труб

Швидкість $v$ м/сек	Діаметр $D$ дроту в мм								
	0,75	1,0	1,5	2,0	2,5	3,0	3,5	4,0	4,5
10	0,58	0,54	0,51	0,49	0,48	0,48	0,48	0,49	0,50
15	0,54	0,51	0,49	0,48	0,48	0,49	0,50	0,52	0,53
20	0,51	0,49	0,48	0,49	0,50	0,52	0,53	0,54	0,55
25	0,49	0,48	0,49	0,50	0,52	0,53	0,54	0,55	0,56
30	0,48	0,48	0,49	0,52	0,53	0,54	0,55	0,56	0,57
35	0,48	0,49	0,50	0,53	0,54	0,55	0,56	0,56	0,57
40	0,48	0,49	0,52	0,54	0,55	0,56	0,57	0,57	0,58
45	0,48	0,50	0,53	0,54	0,56	0,56	0,57	0,58	0,58
50	0,49	0,50	0,54	0,55	0,56	0,57	0,58	0,58	0,58
60	0,49	0,52	0,54	0,56	0,57	0,58	0,58	0,59	0,60
70	0,50	0,53	0,55	0,57	0,58	0,58	0,59	0,59	0,60
80	0,52	0,54	0,56	0,57	0,58	0,59	0,59	0,60	0,60
90	0,52	0,54	0,57	0,58	0,58	0,59	0,60	0,60	0,60
100	0,53	0,55	0,57	0,58	0,59	0,59	0,60	0,60	0,60
110	0,54	0,56	0,57	0,58	0,59	0,60	0,60	0,60	0,60

Для плетених тросів вартості  $C_x$  пересічно на 20% більші. Опір стискається до площині міделя. Щоб зважити кінцеве кріплення, до довжини кожного дроту (труби, троса) додаємо по 0,6 м.

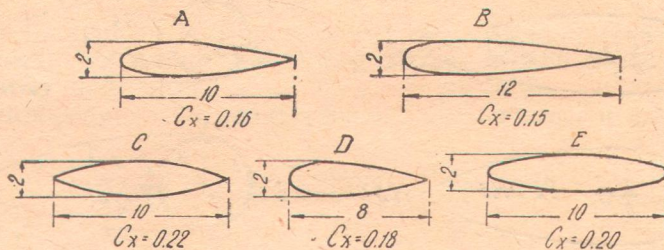


Рис. 101.

Для дротів, похило розташованих до потоку, при розрахунках зазвичайно беруть (на підставі дослідів) за довжину  $l \cdot \sin^3 \alpha$ , де  $\alpha$  — кут нахилення дроту (труби, троса) до потоку і  $l$  — довжина її, додаючи також по 0,6 м, щоб зважити кінцеве кріплення.

Часто вживають дріт спеціальних профілів, що мають менший сучинник опору.

На рис. 101 наведено кілька типів таких профілів і зазначено середні вартості їхніх сучинників  $C_x$  (тут зважено також збільшення через можливий відхил від симетричного розташування щодо потоку).

Опір віднесено до площині міделя. Щоб зважити кінцеве кріплення, додаємо 0,8 м до довжини стъожки. При похилому розташуванні стъожок за жину приймають проекцію довжини стъожки на площину, нормальну потоку +0,8 м.

Якщо дві стъожки або дроти поставлені одне за одним, то їхній спільний опір менший, ніж сума опорів кожного з них, узятого окремо.

На таблиці 6 подано зміну опору залежно від розміру дротів та відношення між їхніми осями (на таблиці дано варності відношення їхнього спільного опору до суми окремих).

Таблиця 6

**Відносний опір двох спарованих круглих дротів.**

Відстань між потоком повітря та площею опор	Віддалі між центрами дротів у діаметрах:						
	1	2	3	3,5	4	5	6
0°	0,20	0,29	0,44	0,60	0,67	0,70	0,72
5°	0,29	0,38	0,44	0,67	0,70	0,74	0,75
10°	0,40	0,42	0,50	0,74	0,77	0,81	0,83
15°	0,49	0,55	0,65	0,80	0,83	0,88	0,92
20°	0,58	0,65	0,77	0,85	0,88	0,94	0,99

Щоб зважити кінцеві опори, на кожну пару круглих дротів додаємо 1 м, а на кожну пару стъожок по 1,2 м. В похилому розташуванні заміною проекцію довжини на площину, нормальну до потоку +1 м або 1,2 м. Опір відносимо до площині міделя.